

Universidade Federal do Rio Grande do Sul
Centro de Biotecnologia
Programa de Pós-Graduação em Biologia Celular e Molecular

**Genômica comparativa e funcional para
identificação de genes associados ao desenvolvimento
estrobilar de cestódeos**

Tese de Doutorado

Gabriela Prado Paludo

Porto Alegre, fevereiro de 2021

Universidade Federal do Rio Grande do Sul
Centro de Biotecnologia
Programa de Pós-Graduação em Biologia Celular e Molecular

**Genômica comparativa e funcional para
identificação de genes associados ao desenvolvimento
estrobilar de cestódeos**

Gabriela Prado Paludo

Tese submetida ao Programa de Pós-Graduação em Biologia Celular e Molecular do Centro de Biotecnologia da UFRGS como requisito parcial para obtenção do grau de Doutor.

Orientador: Dr. Henrique Bunselmeyer Ferreira

Coorientadora: Dra. Claudia Elizabeth Thompson

Coorientador: Dr. Martin Cancela Sehabiague

Este trabalho foi desenvolvido no Laboratório de Genômica Estrutural e Funcional e na Unidade de Biologia Teórica e Computacional do Centro de Biotecnologia da Universidade Federal do Rio Grande do Sul (CBiot/UFRGS), e no *Laboratoire de Biométrie et Biologie Évolutive* da *Université Claude Bernard* (Lyon, França). Ele contou com o apoio financeiro da Coordenação de Aperfeiçoamento de Pessoal de Nível Superior (CAPES) e do Conselho Nacional de Desenvolvimento Científico e Tecnológico (CNPq).

AGRADECIMENTOS

Essa tese é o resultado de um doutorado que começou no segundo semestre de 2016. Durante esse período foram tantos aprendizados e crescimento que eu não poderia deixar de listar algumas das grandes experiências que o doutorado me possibilitou. Aproximadamente após 1 ano de doutorado, tive a incrível experiência de sair do país, pela primeira vez, para realizar o doutorado sanduíche na França. Nesse período conheci não apenas a França, como participei de congressos em outros 2 países: Alemanha e Irlanda. Antes disso, eram exatamente os estudos que me levavam a passar longos períodos introspectivos com a cabeça enfiada em livros, por isso eu não saberia descrever a possibilidade de conhecer o mundo através da ciência de outra forma além de uma vitória. Foi no doutorado que o estudo da biologia molecular de cestódeos começou a tornar o meu mundo maior. Com a experiência de viajar me tornei mais corajosa, consegui *travel grants* fui a mais congressos internacionais, e em todos os eventos conheci pessoas incríveis com quem mantive amizade. Aprendi a não temer a diferença da linguagem, claro que o inglês melhorou bastante também. O crescimento durante esse curso foi tamanho que me levou, uma bioinformata, a viajar até o Uruguai para realizar experimentos *in vitro*.

Ao final de 2019 as experiências que esse doutorado me trouxe já seriam o suficiente para afirmar que foi o período em que mais cresci desde a minha vida adulta. O início de 2020 trouxe grandes mudanças e eu não poderia deixar de citar como elas influenciaram na minha ciência. A pandemia da Covid-19 levou todos ao isolamento social. Também levou o meu doutorado de 4 anos passar para 4 anos e 6 meses. O trabalho remoto, as reuniões por videoconferência, e até mesmo a participação do primeiro congresso virtual foram experiências marcantes. Afara todos os males que essa terrível doença causou, ouso dizer que 2020 é um marco da divulgação e colaboração científica. Para mim, nunca foi mais evidente a importância da comunicação dos acadêmicos com a população não acadêmica. Ano em que sozinhos em nossas casas pudemos ver como a colaboração de cientistas de todo o mundo pôde trazer uma nova esperança, em forma de vacina, para 2021. Certamente as experiências desse período também serão levadas para a minha vida como cientista.

O doutorado foi um período de grande crescimento pessoal e intelectual. E isso não seria possível sem a presença de tantas pessoas maravilhosas que cruzaram o meu caminho, para as quais eu precisaria de mais de duas páginas para citar. Contudo, estão listadas algumas dessas pessoas abaixo, não em ordem de prioridade.

Aos meus pais que me deram a vida e continuam me apresentando esse mundo de mistérios em que vivemos, vocês são minha inspiração.

Ao meu marido Guilherme, a nossa vida já está em uma sintonia tão grande que sinto como se fossemos seres simbiontes. Sendo assim, essa tese é nossa, te amo.

À minha avó Donizete, que sempre me faz lembrar o quanto sou amada.

Às minhas irmãs Daniela e Camila, tenho muito orgulho de vocês.

Ao meu querido tio Moçoró (*in memoriam*), um grande beijo da tua Doutora Gabriela.

Aos meus grandes amigos Fábio e Carolina, nossa paixão pela biotecnologia fez com que nos conhecêssemos, e desde então a presença de vocês enriquece a minha vida todos os dias.

Ao Renato por toda a parceria e amizade, especialmente durante 2020.

Ao meu orientador Henrique, por todo o ensinamento durante essa década de orientação, desde a época da minha graduação. Sempre lembrei das nossas longas conversas sobre métodos científicos e biologia de cestódeos (que tu me ensinaste a admirar).

À minha coorientadora Claudia, por me fazer sentir uma mulher cientista forte.

Ao meu coorientador Martin, pelo apoio e carinho.

Aos meus colegas dos laboratórios 210, 206 e 204. Um destaque especial aos integrantes do “Team Meso”: Tatiana, Jeferson e Marina, por toda a parceria e cooperação.

Aos meus colegas da Unidade de Biologia Teórica e Computacional, vocês são maravilhosos.

À Marie, Said, Leandro e Mariana do *Laboratoire de Biométrie et Biologie Évolutive*.

Ao Uriel, Jimena, Inés e Matías da *Sección Biología Celular da Facultad de Ciencias*.

Meus queridos amigos da Cibstrada, porque nem só de trabalho um ser humano vive!

Por fim, a todos vocês que de alguma forma tornam possível que eu sobreviva da minha curiosidade pela vida, o grande mistério do nosso pequeno planeta.

*“Vou mostrando como sou
E vou sendo como posso
Jogando meu corpo no mundo
Andando por todos os cantos
E pela lei natural dos encontros
Eu deixo e recebo um tanto
E passo aos olhos nus
Ou vestidos de lunetas
Passado, presente
Participo sendo o mistério do
planeta...”*

Novos Baianos,
Acabou Chorare, 1972.

SUMÁRIO

| | |
|---|-----|
| LISTA DE ABREVIATURAS, SÍMBOLOS E UNIDADES..... | I |
| LISTA DE FIGURAS | II |
| LISTA DE TABELAS..... | III |
| RESUMO | 4 |
| ABSTRACT..... | 6 |
| 1. INTRODUÇÃO..... | 7 |
| 1.1. O FILO PLATYHELMINTHES..... | 7 |
| 1.1.1. NEOBLASTOS E CAPACIDADE REGENERATIVA DE PLATELMINTOS..... | 9 |
| 1.1.2. REPRODUÇÃO DE PLATELMINTOS | 11 |
| 1.2. A CLASSE CESTODA | 13 |
| 1.3. CESTÓDEOS DE IMPORTÂNCIA MÉDICA E VETERINÁRIA | 15 |
| 1.4. GENOMAS DE CESTÓDEOS E EVOLUÇÃO MOLECULAR | 16 |
| 1.5. GENES E VIAS DE SINALIZAÇÃO DO DESENVOLVIMENTO DE CESTÓDEOS | 18 |
| 1.6. ESPÉCIES-MODELO PARA ESTUDOS DA BIOLOGIA DA CLASSE CESTODA | 20 |
| 1.6.1. <i>HYMENOLEPIS MICROSTOMA</i> | 21 |
| 1.6.2. <i>MESOCESTOIDES CORTI</i> | 23 |
| 1.7. JUSTIFICATIVAS..... | 25 |
| 2. OBJETIVOS..... | 26 |
| 2.1. OBJETIVO GERAL..... | 26 |
| 2.2. OBJETIVOS ESPECÍFICOS..... | 26 |
| 3. RESULTADOS | 27 |
| 3.1. CESTODE STROBILATION: PREDICTION OF DEVELOPMENTAL GENES AND PATHWAYS..... | 28 |
| ABSTRACT..... | 29 |
| BACKGROUND | 30 |
| RESULTS..... | 31 |
| DISCUSSION..... | 37 |
| CONCLUSION..... | 40 |
| METHODS..... | 40 |
| REFERENCES | 43 |
| 3.2. ANÁLISES <i>IN SITU</i> DOS PADRÕES DE EXPRESSÃO ESPAÇO-TEMPORAIS DE GENES ASSOCIADOS À ESTROBILIZAÇÃO DE <i>H. MICROSTOMA</i> E <i>M. CORTI</i> | 46 |
| 3.2.1. MATERIAIS E MÉTODOS | 47 |
| 3.2.1.1. SELEÇÃO DOS GENES UF PARA A ANÁLISE DE EXPRESSÃO POR WMISH..... | 47 |
| 3.2.1.2. OBTENÇÃO DE MATERIAL BIOLÓGICO DE <i>H. MICROSTOMA</i> E <i>M. CORTI</i> .. | 49 |
| 3.2.1.3. EXTRAÇÃO DE DNA GENÔMICO DE <i>H. MICROSTOMA</i> E <i>M. CORTI</i> | 50 |
| 3.2.1.4. EXTRAÇÃO DE RNA E SÍNTESE DE cDNA | 51 |
| 3.2.1.5. AMPLIFICAÇÃO E CLONAGEM DE SEQUÊNCIAS-ALVO DE <i>H. MICROSTOMA</i> E <i>M. CORTI</i> PARA WMISH..... | 51 |
| 3.2.1.6. WMISH DOS GENES-ALVO EM <i>H. MICROSTOMA</i> E <i>M. CORTI</i> | 53 |
| 3.2.2. RESULTADOS | 54 |

| | |
|---|-----|
| 3.2.2.1. CLONAGEM DAS SEQUÊNCIAS CODIFICADORAS DOS GENES UF8, UF14, UF15 E UF19 EM PGEM-T | 54 |
| 3.2.2.2. OBTENÇÃO DE SONDAS MARCADAS PARA WMISH..... | 55 |
| 3.2.2.3. PADRÃO DE EXPRESSÃO DOS GENES UF8, UF14, UF15 E UF19 NOS ESTÁGIOS ADULTOS DE <i>H. MICROSTOMA</i> E <i>M. CORTI</i> | 56 |
| 3.3. ANÁLISES <i>IN SILICO</i> DOS PADRÕES DE EXPRESSÃO ESPAÇO-TEMPORAIS DE GENES ASSOCIADOS À ESTROBILIZAÇÃO CONSERVADOS EM CESTÓDEOS | 63 |
| 3.3.1. MATERIAIS E MÉTODOS | 64 |
| 3.3.1.1. OBTENÇÃO DOS DADOS TRANSCRITÔMICOS E GENÔMICOS | 64 |
| 3.3.1.2. IDENTIFICAÇÃO DE GENES DIFERENCIALMENTE EXPRESSOS ENTRE OS ESTÁGIOS LARVAL E ADULTO | 64 |
| 3.3.1.3. IDENTIFICAÇÃO DE ORTOGRUPOS | 65 |
| 3.3.1.4. IDENTIFICAÇÃO DE GENES COM EXPRESSÃO DIFERENCIAL ENTRE OS ESTÁGIOS LARVAL E ADULTO E EVOLUTIVAMENTE CONSERVADA EM CESTÓDEOS... | 66 |
| 3.3.1.5. ENRIQUECIMENTO FUNCIONAL DOS GENES DIFERENCIALMENTE EXPRESSOS..... | 66 |
| 3.3.2. RESULTADOS | 69 |
| 3.3.2.1. PROCESSAMENTO E MAPEAMENTO DOS DADOS TRANSCRITÔMICOS DE <i>E.</i> <i>MULTILOCULARIS</i> , <i>H. MICROSTOMA</i> E <i>M. CORTI</i> | 69 |
| 3.3.2.2. ANÁLISE DA EXPRESSÃO GÊNICA DIFERENCIAL ENTRE OS ESTÁGIOS LARVAL E ADULTO DE CESTÓDEOS..... | 71 |
| 3.3.2.3. GENES COM PADRÕES DE EXPRESSÃO DIFERENCIAIS ENTRE LARVAS E VERMES ADULTOS CONSERVADOS EM <i>E. MULTILOCULARIS</i> , <i>H. MICROSTOMA</i> E <i>M. CORTI</i> | 76 |
| 4. DISCUSSÃO..... | 79 |
| 5. CONCLUSÃO | 88 |
| 6. PERSPECTIVAS..... | 90 |
| REFERÊNCIAS BIBLIOGRÁFICAS | 93 |
| CURRICULUM VITAE RESUMIDO | 100 |
| APÊNDICES | 105 |

LISTA DE ABREVIATURAS, SÍMBOLOS E UNIDADES

- aa:** aminoácidos
BEB: *bayes empirical bayes*
BMP2: proteína morfogenética óssea 2 (do inglês, *bone morphogenetic protein 2*)
CDS: sequência codificadora de DNA (do inglês, *coding DNA sequence*)
cDNA: DNA complementar
DEPC: dietilpirocarbonato
DIG: digoxigenina
dN: taxas de substituições não sinônimas (do inglês, *non-synonymous substitutions rates*)
DNA: ácido desoxirribonucleico
dS: taxas de substituições sinônimas (do inglês, *synonymous substitutions rates*)
EGF: fator de crescimento epidérmico (do inglês *epithelial growth factor*)
FBS: soro fetal bovino (do inglês, *fetal bovine serum*)
GAK: quinase associada à ciclina G (do inglês, *cyclin-g-associated kinase*)
gDNA: DNA genômico
GO: ontologia gênica (do inglês, *gene ontology*)
GPCR: receptor acoplado à proteína G (do inglês, *G protein-coupled receptors*)
HmCC: larva cistecercóide da espécie *Hymenolepis microstoma*
HMM: modelo oculto de Markov (do inglês, *hidden Markov model*)
HmST: verme estrobilado da espécie *Hymenolepis microstoma*
HoxB4a: proteína homeobox B4a (do inglês, *Homeobox protein B4a*)
kb: quilobase
kME: genes altamente correlacionados em um módulo (do inglês, *intramodular hub genes*)
LHX1: proteína homeobox Lim 1 (do inglês, *Lim homeobox protein lhx1*)
MAGI2: guanilato-quinase associada à membrana 2 (do inglês, *membrane-associated guanylate kinase protein 2*)
McTT: tetratídeo da espécie *Mesocestoides corti*
McRPMI: meio RPMI1640 modificado, com 10% de FBS
McST: verme estrobilado da espécie *Mesocestoides corti*
ME: *module eigengenes*
NPR1: receptor do peptídeo natriurético atrial 1 (do inglês, *atrial natriuretic peptide receptor1*)
nt: nucleotídeo(s)
pb: par(es) de bases
PBS: tampão fosfato-salino (do inglês, *phosphate buffered saline*)
PBS-DEPC: tampão fosfato-salino tratado com dietilpirocarbonato
PCR: reação em cadeia da polimerase (do inglês, *polymerase chain reaction*)
PFA: paraformaldeído
PPI: interação proteína-proteína (do inglês, *protein-protein interaction*)
RBMS: proteína com domínio de interação ao RNA de fita simples (do inglês, *RNA binding motif single stranded interacting*)
RNA: ácido ribonucleico
RNA-seq: sequenciamento de RNA (do inglês, *RNA sequencing*)
rRNA: RNA ribossômico
SA: *splicing alternativo*
SMAD4: proteína semelhante a “mães contra decapentaplégico homólogo 4” (do inglês, *mothers against decapentaplegic homolog 4-like*)
TCF/LCF: proteína pangolin J (do inglês, *Pangolin J*)
TGF-β/BMP: fator de transformação do crescimento beta/ proteína morfogenética óssea (do inglês, *transforming growth factor-β / bone morphogenetic protein*)
UF: função desconhecida (do inglês, *unknown function*)
WMISH: *whole mount in situ hybridization*
Wnt: proteína wingless
w/v: massa (g) por volume (ml)

LISTA DE FIGURAS

| | |
|--|----|
| FIGURA 1. RELAÇÕES FILOGENÉTICAS DO FILO PLATYHELMINTHES. RELAÇÕES FILOGENÉTICAS DAS CLASSES DO FILO PLATYHELMINTHES E SUBCLASSES DA CLASSE CESTODA..... | 7 |
| FIGURA 2. REPRESENTAÇÃO ESQUEMÁTICA DOS DIFERENTES TIPOS DE CICLO DE VIDA DOS CESTÓDEOS | 13 |
| FIGURA 3. REPRESENTAÇÃO DOS PASSOS EVOLUTIVOS QUE RESULTARAM NA ESTROBILIZAÇÃO..... | 14 |
| FIGURA 4. CICLO DE VIDA DE <i>H. MICROSTOMA</i> | 22 |
| FIGURA 5. CICLO DE VIDA DE <i>M. CORTI</i> | 24 |
| FIGURA 6. REPRESENTAÇÕES ESQUEMÁTICAS DOS GENES-ALVO SELECIONADOS PARA EXPERIMENTOS DE WMISH | 48 |
| FIGURA 7. REPRESENTAÇÃO ESQUEMÁTICA DOS CLONES PLASMIDIAIS OBTIDOS PARA CADA GENE-ALVO | 54 |
| FIGURA 8. AMPLIFICAÇÃO DAS SONDAS UTILIZADAS NOS EXPERIMENTOS DE HIBRIDIZAÇÃO <i>IN SITU</i> . | 55 |
| FIGURA 9. ANÁLISE DE WMISH DA EXPRESSÃO DO GENE UF8 EM VERMES ADULTOS | 57 |
| FIGURA 10. ANÁLISE DE WMISH DA EXPRESSÃO DO GENE UF14 EM VERMES ADULTOS | 58 |
| FIGURA 11. MODELOS DAS REGIÕES DE EXPRESSÃO DOS ORTÓLOGOS DO UF14 EM <i>H. MICROSTOMA</i> E <i>M. CORTI</i> | 59 |
| FIGURA 12. ANÁLISE DE WMISH DA EXPRESSÃO DO GENE HMUF15 EM ADULTOS DE <i>H. MICROSTOMA</i> | 60 |
| FIGURA 13. ANÁLISE DE WMISH DA EXPRESSÃO DO GENE HMUF19 EM ADULTOS DE <i>H. MICROSTOMA</i> | 61 |
| FIGURA 14. DELINEAMENTO DA ANÁLISE <i>IN SILICO</i> DE EXPRESSÃO GÊNICA DIFERENCIAL ENTRE OS ESTÁGIOS LARVAL E ADULTO DE <i>E. MULTILOCULARIS</i> , <i>H. MICROSTOMA</i> E <i>M. CORTI</i> | 67 |
| FIGURA 15. MÉTODO DE SELEÇÃO DOS GENES COM EXPRESSÃO DIFERENCIAL EVOLUTIVAMENTE CONSERVADA EM <i>E. MULTILOCULARIS</i> , <i>H. MICROSTOMA</i> E <i>M. CORTI</i> | 68 |
| FIGURA 16. ANÁLISES DE EXPRESSÃO DIFERENCIAL ENTRE OS ESTÁGIOS LARVAL E ADULTO DE <i>E. MULTILOCULARIS</i> , <i>H. MICROSTOMA</i> E <i>M. CORTI</i> | 72 |
| FIGURA 17. ENRIQUECIMENTO FUNCIONAL DOS GENES DIFERENCIALMENTE EXPRESSOS NOS ESTÁGIOS LARVAL E ADULTO DE <i>E. MULTILOCULARIS</i> | 73 |
| FIGURA 18. ENRIQUECIMENTO FUNCIONAL DOS GENES DIFERENCIALMENTE EXPRESSOS NOS ESTÁGIOS LARVAL E ADULTO DE <i>H. MICROSTOMA</i> | 74 |
| FIGURA 19. ENRIQUECIMENTO FUNCIONAL DOS GENES DIFERENCIALMENTE EXPRESSOS NOS ESTÁGIOS LARVAL E ADULTO DE <i>M. CORTI</i> | 75 |
| FIGURA 20. IDENTIFICAÇÃO DOS ORTÓLOGOS COMPARTILHADOS ENTRE SEIS ESPÉCIES DE CESTÓDEOS | 76 |
| FIGURA 21. ENRIQUECIMENTO FUNCIONAL DE GENES COM EXPRESSÃO DIFERENCIAL EVOLUTIVAMENTE CONSERVADA NAS ESPÉCIES <i>E. MULTILOCULARIS</i> , <i>H. MICROSTOMA</i> E <i>M. CORTI</i> | 77 |

Figuras da seção 3.1

| | |
|---|----|
| FIG 1. PLATYHELMINTH EVOLUTIONARY RELATIONSHIPS AND SEGMENTATION FEATURES | 31 |
| FIG 2. SUMMARY OF TAPEWORM AND FLUKE ORTHOGROUPS AND FUNCTIONAL ENRICHMENT OF THE TAPEWORM ORTHOGROUPS SELECTED AS STROBILATION-RELATED | 32 |
| FIG 3. SCHEMATIC SHOWING CELL PATHWAYS/FUNCTIONS TO WHICH THE DEVELOPMENTAL PROTEINS ASSOCIATED WITH STROBILATION WERE ASSIGNED | 35 |
| FIG 4. DOMAIN PROFILES OF THE PUTATIVE STROBILATION-RELATED PROTEINS | 36 |
| FIG 5. ANALYSIS OF GENE CO-EXPRESSION NETWORKS AND FUNCTIONAL PREDICTIONS FOR STROBILATION-RELATED PROTEINS OF UNKNOWN FUNCTION (UF). | 38 |

LISTA DE TABELAS

| | |
|--|----|
| TABELA 1. PREVALÊNCIA MUNDIAL DE CESTÓDEOS NA POPULAÇÃO HUMANA. | 16 |
| TABELA 2. INICIADORES UTILIZADOS PARA AMPLIFICAÇÃO DE REGIÕES CODIFICADORAS DOS GENES DE INTERESSE..... | 52 |
| TABELA 3. RELAÇÃO DOS PROMTORES UTILIZADOS PARA AS TRANSCRIÇÕES <i>IN VITRO</i> | 55 |
| TABELA 4. INFORMAÇÕES GERAIS DO PROCESSAMENTO E MAPEAMENTO DOS DADOS TRANSCRITÔMICOS | 69 |
| TABELA 5. NÚMEROS DE TRANSCRITOS IDENTIFICADOS A PARTIR DOS DADOS DE RNA-SEQ E SUAS CLASSIFICAÇÕES. | 70 |

Tabela do seção 3.1

| | |
|--|----|
| TABLE 1. SUMMARY OF THE TAPEWORM PROTEINS SELECTED AS BEING STROBILATION-RELATED ... | 33 |
|--|----|

RESUMO

Os cestódeos são os agentes etiológicos de doenças (cestodíases) que causam grave morbidade humana. Um aspecto interessante da biologia de cestódeos é a sua alta capacidade reprodutiva, que é essencial para a manutenção dos seus ciclos de vida. Cestódeos se reproduzem sexualmente por um processo chamado estrobilização, em vermes adultos. A estrobilização se dá através do crescimento seriado e contínuo de segmentos corporais (proglótides) contendo os órgãos sexuais, que podem ser fecundadas e liberar os ovos independentemente. Dessa forma, proteínas envolvidas na estrobilização representam interessantes alvos para fármacos anti-helmínticos, podendo interferir na capacidade reprodutiva desses animais para controle de sua transmissão. Porém, pouco se sabe sobre os mecanismos moleculares envolvidos na estrobilização. Nesse trabalho, foram utilizados métodos ômicos para identificação de genes associados ao desenvolvimento estrobilar de cestódeos, considerando aspectos de conservação evolutiva de sequências ou mecanismos de regulação da expressão gênica. Primeiramente, uma abordagem de genômica comparativa e funcional foi utilizada para a identificação de genes altamente conservados em cestódeos e ausentes em outros táxons evolutivamente relacionados. Foram evidenciados 34 genes relacionados à estrobilização, sendo 22 deles de função desconhecida (genes UF). Para avaliar o envolvimento de alguns dos genes UF na estrobilização, a segunda abordagem utilizada foi a análise por hibridização *in situ* de quatro genes UF em duas espécies-modelo de cestódeos, *Hymenolepis microstoma* e *Mesocestoides corti*. Dois genes tiveram sua associação à estrobilização corroborada, estando, possivelmente, envolvidos no amadurecimento de testículos. Adicionalmente, um gene foi identificado como potencialmente expresso em células indiferenciadas e outro gene possivelmente envolvido na modulação da resposta imune do hospedeiro. A terceira abordagem inclui transcriptômica comparativa para a identificação de genes com o mesmo padrão de expressão diferencial em estágios não-estrobilados (larvas) e estrobilados (adultos) em ortólogos das três espécies de cestódeos (*Echinococcus multilocularis*, *H. microstoma* e *M. corti*). Foram identificados 84 grupos de ortólogos com padrão de expressão diferencial conservado, sendo 5 mais expressos em larvas e 79 mais expressos em adultos. Em seu conjunto, os resultados obtidos por meio das três abordagens utilizadas permitiram evidenciar diversos genes e vias metabólicas associados à estrobilização e sugerem que os mecanismos envolvidos na estrobilização derivaram de mecanismos ancestrais da segmentação de lofotrocozoários, com especialização para a execução de processos exclusivos de cestódeos. Foi identificada uma conservação evolutiva de, pelo menos, alguns mecanismos de regulação gênica entre as três espécies de cestódeos *E. multilocularis*, *H. microstoma* e *M. corti*, além da possível ocorrência de mecanismos de processamento pós-transcpcionais ou pós-traducionais específicos das diferentes fases do desenvolvimento de cestódeos. Os estudos realizados destacam a importância de análises comparativas entre espécies relacionadas para a identificação de genes e mecanismos moleculares associados a processos de desenvolvimento como a estrobilização. Os dados gerados servirão de ponto de partida para estudos mais aprofundados sobre aspectos de *Evo-Devo* de cestódeos e, do ponto de vista aplicado, muitos dos genes associados à

estrobilização poderão ser avaliados como alvos interessantes para o desenvolvimento de novos fármacos e tratamentos anti-helmínticos.

ABSTRACT

Cestodes are the etiologic agents of some diseases (cestodiasis) that cause severe human morbidity. An interesting aspect of cestodes biology is the high reproductive capacity, which is essential for the maintenance of their life cycles. Adult cestodes reproduce sexually by a process called strobilation. Strobilation occurs through the serial and continuous growth of body segments (proglottids) containing the sexual organs, which can be independently fertilized and release eggs. Thus, proteins involved in strobilation are interesting targets for anthelmintic drugs, which may interfere in the reproductive capacity of these animals to control their transmission. However, little is known about the strobilation molecular mechanisms. In this work, omics methods were used to identify genes associated with the development mechanisms of strobilation through sequences evolutionary conservation or mechanisms of gene expression regulation analysis. First, comparative and functional genomics was used to identify highly conserved genes of cestodes that were absent in other evolutionarily related *taxa*. As a result, 34 strobilation-related genes were found, being 22 of unknown function (UF genes). To assess the involvement of some UF genes in the strobilation, the second approach was the *in situ* hybridization analysis of four UF genes in two cestodes model species, *Hymenolepis microstoma* and *Mesocestoides corti*. Two genes had their association with strobilation corroborated, possibly being involved in the testicles maturation. In addition one UF gene is potentially expressed in undifferentiated cells and another UF gene is possibly involved in the host's immune response modulation. The third approach includes comparative transcriptomics to identify genes with the same pattern of differential expression in the orthologs of non-strobilated (larvae) and strobilated (adult) stages of three cestode species (*Echinococcus multilocularis*, *H. microstoma* and *M. corti*). Thus, we identified 84 groups of orthologs genes with conserved differential expression pattern, among these 5 are more expressed in larvae and 79 are more expressed in adults. Taken together, the results obtained with these three approaches show several genes and metabolic pathways associated with Strobilation. Also suggest that some mechanisms involved in strobilization were derived from lobotrocozoans segmentation ancestral ones, that were specialized to execute exclusive processes of cestode. It was also evidenced an evolutionary conservation of at least some gene regulation mechanisms among the three cestode species *E. multilocularis*, *H. microstoma* and *M. corti*. In addition, the possible occurrence of specific post-transcriptional or post-translational processing mechanisms specific of the different developmental stages of cestodes is shown. This work highlight the importance of comparative assessments between related species for the identification of genes and molecular mechanisms associated with developmental processes, such as strobilation. This results will serve as a starting point for more in-depth studies on Evo-Devo aspects of cestodes. From the applied point of view, many of the genes associated with strobilization can be evaluated as interesting targets for the development of new drugs and anthelmintic treatments.

1. INTRODUÇÃO

1.1.0 FILO PLATYHELMINTHES

O Filo Platyhelminthes é composto por uma enorme diversidade de espécies de vermes achatados que ocorrem em todos os mares, rios, lagos e em todas as massas continentais, definidos platelmintos. As principais classes do Filo são Turbellaria, Monogenea, Trematoda e Cestoda (Dodds & Whiles, 2020; Kolasa & Tyler, 2010). Com a simetria bilateral, os platelmintos não possuem celoma, sistema circulatório, cutícula, ânus e, em algumas espécies parasitas (como as da classe Cestoda), epiderme e trato digestivo (Ruppert et al., 2005). Como esses vermes não possuem sistema circulatório, o transporte de substâncias é limitado à difusão. Essa limitação leva à necessidade de distâncias curtas em todos os sistemas de transporte de gases, nutrientes e resíduos metabólicos, explicando sua forma corporal achatada. Apesar da sua anatomia relativamente simples, com exceção do complexo sistema reprodutivo, estes animais apresentam uma ampla variedade morfológica no que diz respeito ao tamanho, forma e presença de órgãos (Scholz et al., 2009).

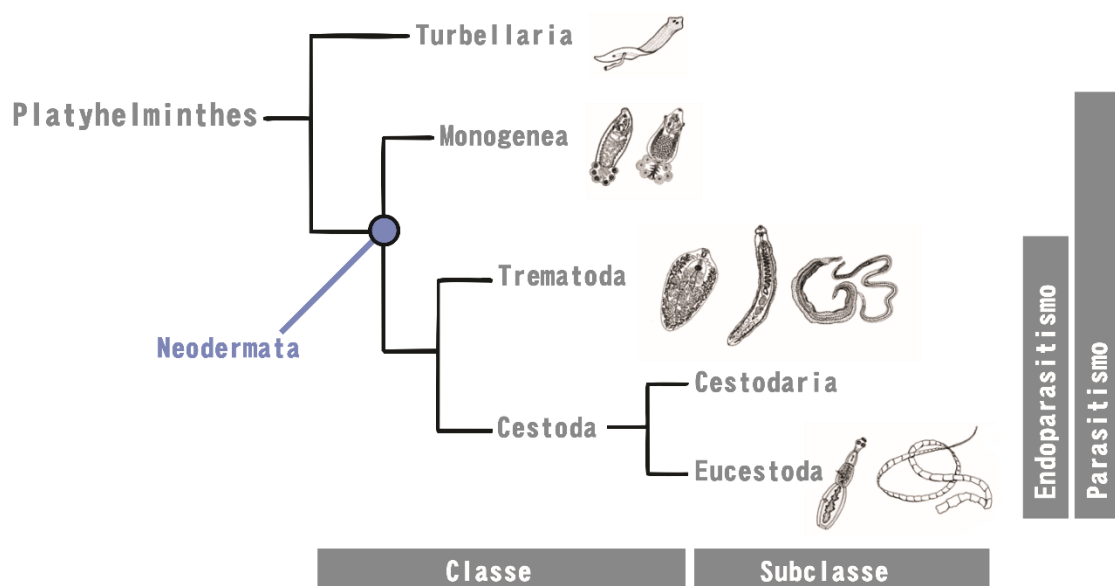


Figura 1. Relações filogenéticas do Filo Platyhelminthes. Relações filogenéticas entre as principais classes do Filo Platyhelminthes e subclasses da classe Cestoda. As classes de parasitos formam um grupo monofilético, o clado Neodermata (Hahn et al., 2014). Imagens dos vermes provenientes do banco digital ©BIODIDAC (<https://www.library.ucdavis.edu/database/biodidac-bank-digital-resources-teaching-biology/>).

Gradativamente, alguns platelmintos fizeram uma transição evolutiva de organismos de vida livre para vermes ecto e endoparasitas. A classe Turbellaria é composta, principalmente, por vermes de vida livre, comumente encontrados em ambientes aquáticos. Muitas de suas espécies foram inicialmente descritas como comensais e, posteriormente, algumas passaram a ser descritas como parasitas (Rohde, 1994). Parece evidente a transição entre a vida livre, o comensalismo (com sua estreita associação à outra espécie) e o parasitismo nesta classe ancestral.

As demais principais classes de platelmintos são compostas por parasitos obrigatórios de vertebrados, que formam um grupo monofilético chamado Neodermata (Hahn et al., 2014; Lockyer et al., 2003). Este clado é caracterizado pela reposição parcial ou completa da epiderme celular por uma nova camada sincicial chamada neoderme, ou tegumento, que se desenvolve durante a metamorfose do verme para a sua forma larval. A neoderme apresenta importantes adaptações ao parasitismo e de defesa contra o hospedeiro. Ela é composta por uma única célula sincicial e, portanto, não possui espaços intercelulares, de forma que nenhuma substância entre ou saia do corpo sem que atravesse intracelularmente o sincício (Ruppert et al., 2005). A neoderme sincicial proporciona forte regulação do transporte de substâncias que entram ou saem do corpo do verme e uma melhor difusão de moléculas no tegumento (Dalton et al., 2004). Além disso, a sua membrana externa contém microvilosidades, ou microtríquias, que aumentam a sua superfície para absorção de nutrientes e conferem proteção às diferentes pressões osmóticas encontradas durante o ciclo de vida do parasito.

Platelmintos parasitas estão entre os agentes infecciosos mais prevalentes no mundo, acometendo, principalmente, seres humanos e animais domésticos de países em desenvolvimento. Há mais de 20.000 espécies conhecidas de platelmintos, a maioria parasita, e praticamente todas as espécies de vertebrados são suscetíveis à infecção por, pelo menos, uma delas (Olson et al. 2012).

A classe Monogenea é composta, principalmente, por ectoparasitas de peixes teleósteos. Todos os organismos dessa classe são dependentes de ambientes aquáticos para o desenvolvimento de seus ovos e a distribuição de suas larvas. Embora predominantemente ectoparasitas, casos de endoparasitismo já foram relatados para organismos da classe que tendem a se refugiar de ambientes hostis no interior de seus hospedeiros (Kearn, 1994).

As classes Trematoda e Cestoda são compostas por organismos endoparasitas de vertebrados, sendo que os animais que compõem cada classe são definidos como

trematódeos e cestódeos, respectivamente (Park et al., 2007). A classe Trematoda é dividida em duas subclasses: Aspidogastrea, constituída por aproximadamente 12 gêneros e menos de 100 espécies, e Digenea (Rohde, 2001). A subclasse Digenea possui o maior número de espécies de trematódeos (com cerca de 18.000 espécies), que, em relação aos aspidogástreos, possuem ciclos de vida mais complexos e constituídos por múltiplos hospedeiros (Olson et al., 2003). Neste grupo, estão os agentes etiológicos das principais doenças causadas por trematódeos, como a esquistossomose, causada por espécies do gênero *Schistosoma*, que se estima afetar cerca de 240 milhões de pessoas e causar mais de 200.000 mortes por ano de acordo com a *World Health Organization* (<https://www.who.int/schistosomiasis/epidemiology/en/>).

A classe Cestoda inclui endoparasitas de vertebrados e de alguns oligoquetos (Heyneman, 1996). Possuem ciclos de vida complexos e são os agentes etiológicos de algumas das principais doenças de seres humanos e animais domésticos. Aspectos adicionais relacionados ao parasitismo nessa classe são discutidos nas próximas seções.

Dessa forma, platelmintos são animais que apresentam grande distribuição mundial, além de uma enorme diversidade de espécies e formas, que evoluíram por meio de diferentes pressões evolutivas. Algumas importantes características importantes que permitem esse alto grau de diversidade tanto morfológica, como de estilos e ciclos de vida dos platelmintos estão associadas a uma grande capacidade regenerativa e reprodutiva desses animais, descritas nas próximas seções.

1.1.1. Neoblastos e capacidade regenerativa de platelmintos

A capacidade regenerativa de platelmintos tem sido intensivamente estudada em planárias (pertencentes à classe Turbellaria) desde o século XIX. Em 1825, biólogos perceberam a capacidade regenerativa extraordinária das planárias que, mesmo tendo sua cabeça cortada longitudinalmente, brevemente cicatriza o corte e se regenera completamente, dando origem a duas cabeças (Johnson, 1825). Da mesma maneira, uma planária que é completamente cortada ao meio, transversalmente ou longitudinalmente dá origem a duas planárias.

Quando uma planária é ferida, a epiderme adjacente se espalha sobre a lesão, selando a região (Ruppert et al., 2005). Após, uma grande quantidade de células somáticas indiferenciadas, chamadas neoblastos, se agrupam e formam o blastema. Finalmente, as partes perdidas do corpo diferenciam-se a partir das células do blastema.

Na planária *Schmidtea mediterrânea*, os neoblastos estão distribuídos ao longo do verme, exceto na região anterior da cabeça e faringe (Gehrke & Srivastava, 2016). Na regeneração dessa espécie, primeiramente ocorre uma alta taxa de mitose de neoblastos (de forma global), com pico de mitose ocorrendo cerca de 6h após o ferimento. Em seguida, uma segunda onda de mitose ocorre apenas na região do ferimento, com pico de mitose em ~48h após a lesão.

Os neoblastos já foram descritos como células únicas no reino animal (Baguñà & Slack, 1981). Isso se deve ao fato de que são as únicas células de platelmintos adultos que se dividem e que dão origem a todos os outros tipos celulares, incluindo as células germinativas e os próprios neoblastos (Ladurner et al., 2000). Dessa forma, essas são as únicas células mitoticamente ativas em adultos e têm sido estudadas, principalmente, por meio da utilização de marcadores de células em diferentes fases da mitose, além de análises das principais morfologias que os neoblastos podem apresentar (Gehrke & Srivastava, 2016). De fato, neoblastos compreendem um conjunto de células indiferenciadas, não necessariamente totipotentes, podendo estar em diferentes estágios de diferenciação. Em planárias de água doce, para as quais os neoblastos são particularmente bem conhecidos e muito estudados, foi descrito que 20% a 30% de suas células são neoblastos (Baguñà & Romero, 1981). Dentre esses, 50% dos neoblastos são pós-mitóticos; 40% são populações de células-tronco amplificadoras de trânsito; e apenas 3% a 5% seriam consideradas células-tronco genuínas.

Como os neoblastos já foram identificados em platelmintos de vida-livre e parasitas, acredita-se que linhagens de neoblastos derivaram de células-tronco presentes no ancestral comum de platelmintos (Ladurner et al., 2000). Porém, neoblastos de platelmintos parasitas apresentam características apomórficas às de outros platelmintos, como, por exemplo, a possível perda de alguns genes marcadores de neoblastos no genoma do trematódeo *Schistosoma mansoni*, e no cestódeo *Echinococcus multilocularis* (Collins III et al., 2013; Tsai et al., 2013; Koziol & Brehm, 2015). Além disso, alguns genes específicos de neoblastos de planárias são expressos em células diferenciadas de *E. multilocularis*, sugerindo importantes divergências funcionais entre os neoblastos de cestódeos e os de planárias (Koziol & Brehm, 2015).

Os neoblastos de *S. mansoni* estão divididos em quatro principais classes, distinguíveis por marcadores moleculares específicos de cada população (Wang et al.,

2018). Nesse trematódeo, acredita-se que cada classe de neoblastos é responsável pela origem de populações celulares específicas, sendo a classe κ de células tronco embrionárias, que dão origem as classes δ e ϵ ; a classe δ dá origem à classe φ (neoblastos do estágio larval) e a células somáticas; a classe φ dá origem a vários tecidos transitórios do estágio larval; e a classe ϵ dá origem às células germinativas e estão distribuídas nas gônadas. A disposição de neoblastos já foi descrita para o cestódeo *Mesocestoides corti* no seu estágio adulto (Koziol et al., 2010). Nesse estudo, foi demonstrado que neoblastos estão presentes em toda a extensão do *M. corti* adulto, inclusive na região anterior do escólex, e são mais concentrados na região do pescoço (que dá origem às proglótides) e nas regiões centrais das proglótides (que dão origem aos órgãos reprodutivos). Em *E. multilocularis*, os neoblastos compõem de 20 a 25% das células da camada mais interna (camada germinativa) do seu estágio larval (metacestódeo), e acredita-se que sejam divididos em diferentes subpopulações que apresentam diferentes potenciais de diferenciação e auto renovação (Koziol & Brehm, 2015). Mais detalhes sobre a morfologia de cestódeos são descritos na seção 1.2. Assim, apesar da grande quantidade de estudos de neoblastos em platelmintos de vida livre, pouco se conhece sobre a diversidade e biologia de neoblastos em platelmintos parasitas, principalmente em cestódeos.

1.1.2. Reprodução de platelmintos

Platelmintos são, em sua grande maioria, hermafroditas, e se reproduzem sexualmente por copulação e fertilização interna (Ruppert et al., 2005). Vermes adultos possuem ambos os sistemas reprodutivos feminino e masculino, que são complexos e variáveis. De forma geral, o sistema masculino é composto por dois ou mais testículos (que produzem os espermatozoides), conectados a dutos espermáticos que levam os espermatozoides até à vesícula seminal, onde são estocados, e um órgão copulador. O sistema feminino é composto, de forma geral, por um gonóporo (por onde entram os espermatozoides), bursa copulatória e receptáculo seminal, ovários (que produzem os ovos), ovidutos, e o útero (onde os ovos amadurecem). Normalmente, a fecundação é feita de forma cruzada entre esses vermes que, assim, produzem ovos encapsulados contendo óócitos fecundados. Existe uma grande diversidade dos tipos de ovos entre as espécies de platelmintos, além de diferentes estratégias desses animais quanto à deposição dos ovos.

Um aspecto interessante, proveniente da enorme capacidade regenerativa de platelmintos (seção 1.1.1), é a reprodução assexual desses animais, também chamada de reprodução clonal (Reuter & Kreshchenko, 2004). Em planárias, a reprodução assexual ocorre principalmente por um mecanismo de fissão transversal, por meio da qual se dividem em duas partes que, em sequência, se regeneram em dois animais, mecanismo chamado de arquitomia (Ruppert et al., 2005). Outro exemplo de reprodução assexual é a do catenúlido *Catenula lemnae*, que se diferencia em uma cadeia de zooides (indivíduos), posteriormente separados por fissão em um processo chamado paratomia. Arquitomia e Paratomia pedem ser considerados processos inversos, sendo o primeiro composto pela sequência fissão e regeneração, enquanto no segundo caso ocorre um processo de crescimento e diferenciação seguido pela fissão. Adicionalmente, outro exemplo de reprodução assexual é o brotamento, processo descrito inicialmente para acelos do gênero *Convolutriloba* e, posteriormente, para alguns platelmintos parasitas como o cestódeo *M. corti* (mais detalhes na seção 1.6.) (Chernin et al., 2002; Ruppert et al., 2005; Sikes & Bely, 2008). Nesse processo, muitas divisões celulares ocorrem em uma única região do verme dando origem a um broto que é separado por fissão e se desenvolve em um novo indivíduo.

Em platelmintos parasitas, a reprodução assexual normalmente compreende uma etapa crucial de seus ciclos de vida, principalmente nos platelmintos endoparasitas (Reuter & Kreshchenko, 2004). Esse tipo de reprodução normalmente ocorre nos estágios larvais desses parasitos, por processos altamente especializados aos contextos e interações parasito-hospedeiro nos quais se envolvem esses platelmintos, alguns especialmente complexos. Um exemplo interessante é o do cestódeo *Echinococcus granulosus*, que possui um estágio larval (metacestódeo) em forma cística (Monteiro et al., 2010). O metacestódeo é composto por duas camadas, denominadas camadas germinativa e laminar, e preenchido por um líquido, denominado líquido hidático. A camada celular mais interna da parede (camada germinativa) é rica em neoblastos, que se multiplicam, em um processo similar ao brotamento, e dão origem à forma pré-adulta do parasito, o protoescólex, que se mantém viável dentro do cisto. Assim, a forma larval do *E. granulosus* dá origem a múltiplos protoescólices, cada um com o potencial de se desenvolver em um verme adulto ou de se desdiferenciar (rediferenciar) e dar origem a um novo metacestódeo, dependendo dos estímulos externos.

1.2. A CLASSE CESTODA

A classe Cestoda é uma das mais derivadas (juntamente com a classe Trematoda) evolutivamente dentre os platelmintos, ou seja, evolutivamente mais recente ou apomórfica. Os cestódeos são endoparasitas obrigatórios do trato digestivo de vertebrados e, portanto, apresentam características que confirmam sua dependência dos hospedeiros para se desenvolverem. Um exemplo disso é a completa perda de órgãos do sistema digestório, associada à presença de uma neoderme altamente especializada que permite a absorção dos nutrientes a partir do hospedeiro. Em geral, os cestódeos possuem, ao menos, dois hospedeiros, adicionando considerável complexidade a seus ciclos de vida (Figura 2) (Littlewood, 2006). Embora existam algumas poucas exceções conhecidas, como as espécies do gênero *Archigetes* que podem, ocasionalmente, se desenvolver completamente em seu primeiro hospedeiro. Para completarem seu ciclo, os cestódeos, que frequentemente sobrevivem a longos períodos de infecção, desenvolveram a capacidade de aumentar seu potencial de reprodução por meio da repetição seriada dos seus órgãos reprodutivos e, em alguns casos, por meio de reprodução assexuada com a produção de cistos.

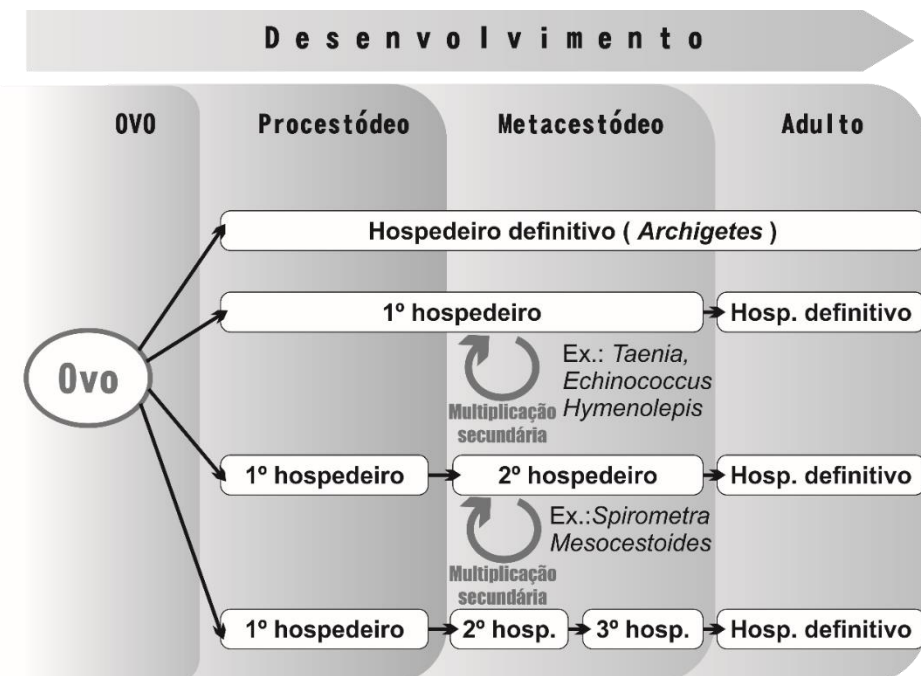


Figura 2. Representação esquemática dos diferentes tipos de ciclo de vida dos cestódeos. Estão indicadas as posições onde se desenvolvem os principais estágios de vida em relação ao seu hospedeiro. A multiplicação secundária se refere à multiplicação assexual ocorrida na proliferação do metacestódeo. O ciclo de vida do *Archigetes iowensis* (Caryophyllidea) pode ocorrer completamente em um único hospedeiro, um anelídeo Oligochaeta, e o mesmo ocorre em outras espécies do gênero *Archigetes*. Figura modificada de Littlewood 2006.

Na subclasse Eucestoda, o ovo é um embrião hexacanto (oncosfera) protegido por envoltórios ovulares (embrióforo) e, para eclodir, o embrióforo precisa ser ingerido e digerido pelas enzimas do primeiro hospedeiro (Chervy, 2002). A oncosfera deve romper o envoltório interno e penetrar na mucosa do hospedeiro pela ação dos três pares de ganchos. A forma larval (metacestódeo) se desenvolve no(s) hospedeiro(s) intermediário(s), onde se mantém até que seja ingerida pelo hospedeiro definitivo e atinja a forma adulta.

Com exceção das Ordens Caryophylliidea e Spatheobothriidea, os eucestódeos em seu estágio adulto possuem uma região anterior (escólex), a partir da qual crescem serialmente as proglótides (Figura 3) (Littlewood, 2006). Desse modo, quanto mais distante do escólex, mais antiga é a proglótide. As proglótides da maioria dos cestódeos são hermafroditas com um ou mais conjuntos de órgãos reprodutivos masculinos e femininos.

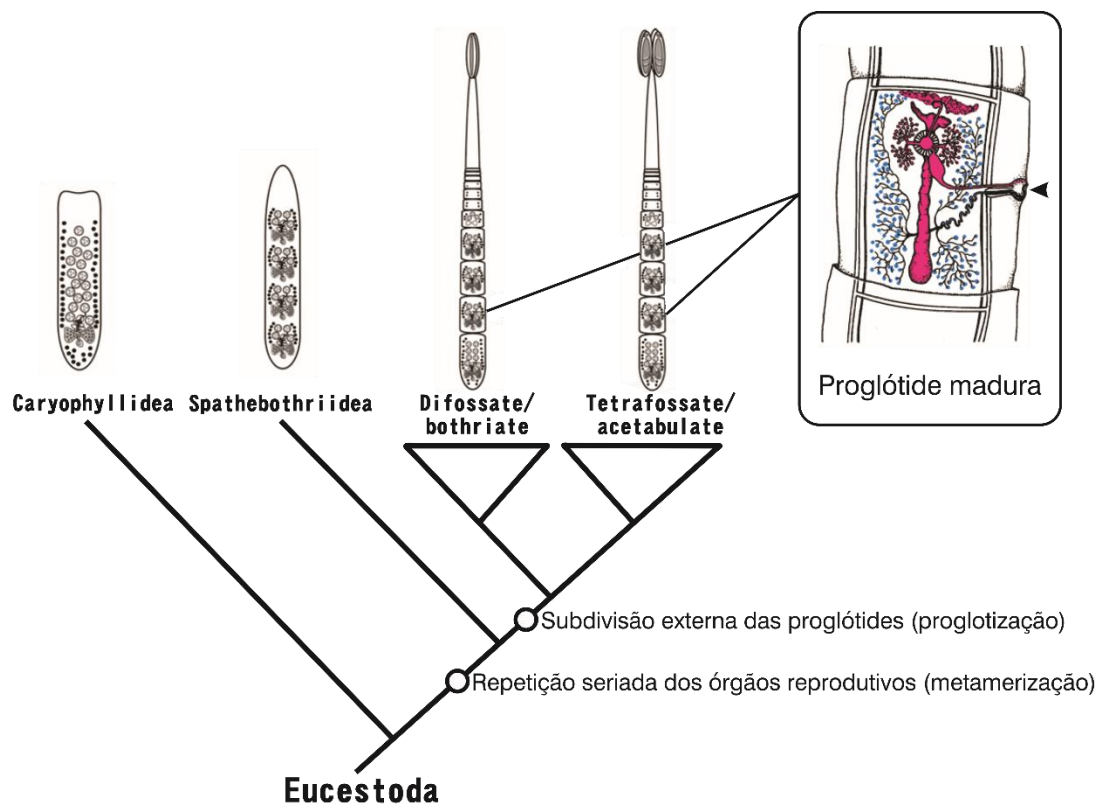


Figura 3. Representação dos passos evolutivos que resultaram na estrobilização. O diagrama descreve os passos de segmentação interna (metamerização) dos órgãos reprodutivos e externa (proglotização) da subclasse Eucestoda (modificado de Olson et al. 2001). À direita está a representação de uma proglótide madura (adquirida do banco digital ©BIODIDAC), mostrando os órgãos do sistema reprodutor feminino (magenta), masculino (azul) e o átrio genital (apontado pela seta).

Como descrita na Figura 3, a evolução da estrobilização na subclasse Eucestoda foi decorrente da condição plesiomórfica na Ordem Caryophylliidea e derivou de forma que a metamerização, repetição seriada dos órgãos reprodutivos, e a segmentação externa, proglotização, foram eventos evolutivos independentes. Organismos que apresentam ambos os processos de metamerismo e proglotização são chamados estrobilados. Ambos os processos apresentam potenciais vantagens ao parasitismo, tal como o aumento da fertilidade gerado pela metamerização (Olson et al., 2001). Já a proglotização promove um aumento da fecundidade, podendo permitir que a fertilização ocorra em diferentes regiões do ambiente em que o parasito se encontra (como o intestino), por meio de fertilização cruzada.

Do ponto de vista da diversidade de espécies conhecidas, poucas linhagens são conhecidas para as Ordens Caryophylliidea e Spathobothriidea. Em contrapartida, já foram descritos mais de 600 gêneros de organismos estrobilados (Olson et al., 2001). Esses dados sugerem uma forte vantagem adaptativa da proglotização. Além disso, tanto o aumento da complexidade dos ciclos de vida quanto o número de hospedeiros, considerando a simplicidade observada em algumas espécies da Ordem Caryophyllidea (Figura 2), pode nos levar a presumir que a metamerização e proglotização estão intimamente ligadas à evolução dos ciclos de vida dos vermes, envolvendo diferentes números de hospedeiros vertebrados.

1.3. CESTÓDEOS DE IMPORTÂNCIA MÉDICA E VETERINÁRIA

As doenças causadas por parasitos da classe Cestoda, cestodíases, figuram entre as helmintíases humanas mais comuns em todo o mundo (Budke et al., 2009). As cestodíases afetam principalmente os segmentos socioeconômicos desfavorecidos da sociedade e causam grave morbidade humana. Em seres humanos, apenas os casos relatados e estimados das cestodíases mais comuns ultrapassam os 200 milhões (Tabela 1). Estima-se que as perdas globais determinadas pela hidatidose cística e pela cisticercose em humanos (causadas pelas formas larvais de *Echinococcus granulosus* e *Taenia solium*, respectivamente), em termos de *disability-adjusted life years* (DALYs) equivalem às das doenças tropicais negligenciadas mais conhecidas, como a doença de Chagas, a dengue e a tripanossomíase (Budke et al., 2009). O grande impacto causado pela equinococoses e a cisticercose levou a Organização Mundial da Saúde (<http://www.who.int/en/>) a incluir essas cestodíases na lista de Doenças tropicais negligenciadas (Neglected tropical diseases:

http://www.who.int/neglected_diseases/diseases/en/), ressaltando a importância do desenvolvimento de estratégias de prevenção, combate e erradicação dessas doenças em nível mundial.

Tabela 1. Prevalência mundial de cestódeos na população humana.

| Espécie | Casos | Referência |
|------------------------------|------------|------------------------------|
| <i>Diphyllobothrium</i> spp. | 20 milhões | (Scholz et al., 2009) |
| <i>Echinococcus</i> spp. | 4 milhões | (Zhang et al., 2016) |
| <i>Hymenolepis nana</i> | 75 milhões | (Muehlenbachs et al., 2015) |
| <i>Taenia saginata</i> | 77 milhões | (Teklemariam & Debash, 2015) |
| <i>T. solium</i> | 50 milhões | (Almeida et al., 2009) |

Cestódeos também são os agentes etiológicos de algumas importantes zoonoses do gado doméstico (incluindo bovinos, ovinos e suínos) e causam danos econômicos colaterais aos pecuaristas, devido à infecção de seus animais. Um exemplo é a cisticercose bovina (causada pela forma larval da *T. saginata*). Um estudo no estado de São Paulo, Brasil, demonstrou que em 58,45% das 556 fazendas pesquisadas havia casos de cisticercose bovina e estimou-se que as perdas naquele ano, apenas para esses pecuaristas, chegaram a US\$ 312.194,52 (Rossi et al., 2015). Já as perdas devido à cisticercose suína (causada pela forma larval da *T. solium*) no México foram estimadas em US\$ 19.507.171,00 no ano de 2015 (Bhattarai et al., 2019). Outro exemplo é a equinococose cística (causada pela forma larval do *E. granulosus*). As perdas atribuídas à equinococose cística em bovinos estão relacionadas à diminuição do ganho de peso (perda de 2,5 a 20% do valor de venda), produção de leite (perda de 2,5 a 12%), fecundidade (perda de 3 a 12%), e valor de pele (perda de 0,2%) (Cardona & Carmena, 2013). A grande desvalorização do gado devido à equinococose cística foi destacada recentemente em um estudo das perdas econômicas causadas por zoonoses em bovinos, que colocou *E. granulosus* como um dos principais parasitos bovinos em termos de perdas econômicas (considerando tanto ecto como endoparasitos bovinos) e o parasito cestódeo mais importante economicamente (Rashid et al., 2019).

1.4. GENOMAS DE CESTÓDEOS E EVOLUÇÃO MOLECULAR

As relações filogenéticas considerando diferentes genes marcadores do desenvolvimento do filo Platyhelminthes têm sido amplamente discutidas por décadas

(Littlewood, 1999; Olson & Tkach, 2005; Thompson, 2008; Zarowiecki & Berriman, 2015). Por meio destas análises, estabeleceram-se as principais relações do Filo Platyhelminthes, como a definição de quatro classes e a monofilia das classes de platelmintos parasitas formando o clado Neodermata (Littlewood et al., 2001). Porém, mantiveram-se dúvidas com relação às interrelações desses grupos, variando conforme o conjunto de marcadores utilizados para a análise filogenética.

Apenas nos últimos anos, os dados genômicos começaram a ser considerados para as análises evolutivas destes organismos. Recentemente, um estudo filogenômico comparativo dos genomas de 56 nematódeos, 12 cestódeos e 11 trematódeos discute que há diferença significativa entre os tamanhos médios dos genomas de cestódeos e de trematódeos (platelmintos mais relacionados), sendo os de cestódeos (média de 139 Mb) quase um terço do tamanho dos de trematódeos (média de 385Mb) (International Helminth Genomes Consortium, 2019). Em um primeiro momento, especulou-se que essa diferença seria em função de diferenças nos conteúdos de regiões repetitivas nos genomas. Apesar dos cestódeos terem, em média, menos conteúdo repetitivo que trematódeos (médias de 14,2% e 50,2% dos conteúdos genômicos, respectivamente), a quantidade de DNA não repetitivo (por exemplo, genes ou sequências únicas de DNA não codificador) também aumenta com o tamanho do genoma, sendo a diferença entre esses dois taxa estatisticamente significativa. Dessa forma, especula-se que a seleção purificadora em genomas de cestódeos é mais atuante que em trematódeos, sendo menos toleradas as expansões de elementos transponíveis e de DNA não repetitivo.

De forma geral, os estudos genômicos de cestódeos corroboram que esses animais apresentam uma simplificação de seu genoma, no sentido de perdas de genes e vias metabólicas ubíquas nos demais animais (Tsai et al., 2013). Dentre as perdas, estão a ausência das vias de biossíntese de ácidos graxos funcionais e de peroxissomos (Hahn et al., 2014). Com relação aos platelmintos parasitas, são observados a perda dos sistemas de variação antigênica de superfície e o desenvolvimento de conjuntos de proteínas imunorreguladoras capazes de suprimir a resposta imunológica do hospedeiro durante os longos períodos de infecção (Zarowiecki & Berriman, 2015).

Assim, muitas descrições do metabolismo e adaptações dos platelmintos ao parasitismo têm sido realizadas por meio da utilização de dados genômicos. Uma das hipóteses mais bem aceitas é a de que a regressão morfológica e a simplificação, em alguns aspectos do metabolismo nas classes Trematoda e Cestoda, devem-se, possivelmente, à redução dos genomas dessas espécies parasitas (Zarowiecki &

Berriman, 2015). Essa teoria também vai ao encontro das hipóteses em relação às diferenças de tamanhos dos genomas de cestódeos e trematódeos, considerando que a morfologia de cestódeos é, em geral, mais simples que a de trematódeos pela perda completa de órgãos do sistema digestório. A simplificação do metabolismo nestas espécies também foi descrita como uma adaptação importante para a evolução de organismos metaméricos e segmentados, que levam ao surgimento da estrobilização (Couso, 2009).

1.5. GENES E VIAS DE SINALIZAÇÃO DO DESENVOLVIMENTO DE CESTÓDEOS

O desenvolvimento de cestódeos é complexo, envolvendo metamorfose entre as diferentes fases do ciclo e a transição entre diferentes hospedeiros. Apesar do amplo conhecimento relacionado ao desenvolvimento de planárias, relativamente pouco se conhece sobre os mecanismos moleculares envolvidos no desenvolvimento de cestódeos. Diferenças relativas à simplificação genômica de platelmintos parasitas sugerem que mecanismos moleculares associados aos neoblastos podem ter sido modificados em relação aos encontrados em planárias (Tsai et al., 2013). Alguns desses mecanismos são destacados as seguir.

Um aspecto muito relevante nos estudos de desenvolvimento e regeneração de cestódeos é a regulação da polaridade anteroposterior (cabeça-cauda). A via de sinalização da proteína *wingless* (Wnt) já foi descrita como responsável pela regulação dessa polaridade em planárias (Lin & Pearson, 2014). Em platelmintos, apenas cinco subfamílias da Wnt foram identificadas como codificadas nos seus genomas (Wnt1, Wnt2, Wnt4, Wnt5 e Wnt11), das quais planárias possuem 9 genes. O número de parálogos em cestódeos é ainda mais reduzido, com apenas 5 ou 6 genes pertencentes a essas subfamílias (Riddiford & Olson, 2011). O envolvimento da via de sinalização da Wnt já foi estudado para o desenvolvimento dos cestódeos *E. multilocularis* e *Hymenolepis microstoma*, tendo sido identificadas similaridades entre a metamorfose do estágio larval de cestódeos e o desenvolvimento de planárias (Koziol et al., 2016). Durante a metamorfose do estágio larval de *E. multilocularis*, que se diferencia para o estágio pré-adulto, a expressão de genes Wnt foi identificada em regiões de crescimento e diferenciação celular, além da expressão de inibidores da via de sinalização da Wnt em regiões da formação do escólex (cabeça), evidenciando o envolvimento desta via na definição do eixo anteroposterior nessa espécie. Porém, os mecanismos associados à

via de sinalização da Wnt ainda não estão completamente elucidados pois, apesar de possuírem os principais genes da via, muitos dos genes codificadores dos ligantes associados a Wnt foram perdidos em cestódeos (Riddiford & Olson, 2011; Tsai et al., 2013).

Normalmente, a sinalização mediada por Wnt atua em conjunto com genes Hox ou ParaHox, no estabelecimento do eixo anteroposterior em metazoários (Martin & Kimelman, 2009; Ryan & Baxevanis, 2007). Dentre as ~100 famílias de genes contendo domínios homeobox ancestrais de bilatérios, apenas 62 estão presentes em cestódeos (Tsai et al., 2013). Dentre as perdas descritas para cestódeos, estão os genes envolvidos no desenvolvimento neuronal (*mnx*, *pax3/7*, *gbx*, *hbn* e *rax*), apesar de possuírem um sistema nervoso bem desenvolvido. Adicionalmente, também perderam alguns dos genes ParaHox (*Gsx*, *Pdx*, *Cdx*), que estão envolvidos no desenvolvimento do tubo digestivo em outros animais.

A via de sinalização do fator de transformação do crescimento beta e da proteína morfogenética óssea (TGF- β /BMP) regula uma grande variedade de processos celulares em metazoários, como divisão, diferenciação, adesão, migração e apoptose. Proteínas da família Smad são componentes centrais da via TGF- β /BMP que regulam processos envolvidos no estabelecimento de eixos corporais durante o desenvolvimento e na regeneração (Epping & Brehm, 2011). Em cestódeos, já foi descrita a expressão da proteína Smad4 de *E. granulosus* no estágio larval e pré-adulto, sendo mais expressa no estágio pré-adulto ativado (Zhang et al., 2014). Além disso, a Smad4 e outras Smads têm as expressões colocalizadas em camadas do tegumento de *E. granulosus* pré-adulto, que sugerem o envolvimento da via TGF- β /BMP em processos como crescimento, desenvolvimento e interação parasito-hospedeiro.

A via de sinalização dos receptores acoplados à proteína G (GPCRs) desempenha papéis centrais em processos de desenvolvimento, reprodução e na resposta a estímulos ambientais (Kobilka, 2013; Saberi et al., 2016). Em planárias, um tipo de GPCRs (NPYR-1) está envolvido em mecanismos de controle da diferenciação de neoblastos no amadurecimento sexual de gônadas (Saberi et al., 2016). Em cestódeos alguns GPCRs foram relacionados à locomoção de *E. granulosus* e *M. corti*, além de potencialmente estarem regulando processos de desenvolvimento ou, mesmo, mecanismos de reprodução (Camicia et al., 2018).

1.6.ESPÉCIES-MODELO PARA ESTUDOS DA BIOLOGIA DA CLASSE CESTODA

De forma geral, organismos-modelo são espécies (ou mais precisamente linhagens) não humanas que possuem um maior número de vantagens experimentais como: (i) rápidos ciclos de vida que permitem o crescimento de grandes populações em pequenos períodos de tempo; (ii) simplicidade de manutenção em condições laboratoriais; (iii) pequenos tamanhos corporais; (iv) relativa estabilidade; e (v) baixa variabilidade genética (Ankeny & Leonelli, 2011). Organismos-modelo permitem o estudo de fenômenos biológicos particulares das características de cada espécie, geralmente, incluindo estudos genéticos ou de processos de desenvolvimento. Dessa forma, historicamente, organismos-modelo helmintos foram selecionados devido a características particulares da espécie que facilitem estudos específicos, como o estudo do desenvolvimento do sistema nervoso no nematódeo *Caenorhabditis elegans* (Ankeny, 2001) e o estudo da biologia de células-tronco e da regeneração em planárias (Ivankovic et al., 2019).

No contexto de doenças parasitárias, prioriza-se a escolha de organismos-modelo não infectivos para seres humanos, garantindo a segurança do profissional que conduz o experimento. Além disso, espécies endoparasitas obrigatórias, como o caso de cestódeos, podem necessitar um hospedeiro para a sua manutenção. Nesse caso, torna-se necessária a utilização de outra espécies-modelo, que permita sua manutenção em condições laboratoriais, para o cultivo do parasita de interesse. A manutenção de cestódeos em condições laboratoriais necessita de uma ou mais espécies hospedeiras, devido aos ciclos de vida complexos desses parasitas, e não é possível a manutenção desses animais, por longos períodos, em condições estritamente *in vitro*. Assim, o que se busca em espécies-modelo de cestódeos são: (i) possibilidades de geração de material biológico na maior escala possível; (ii) facilidade de manutenção tanto *in vivo* como *in vitro*; (iii) segurança do profissional na manipulação; e (iv) semelhanças biológicas (no sentido mais amplo) entre as espécies-modelo e aquelas de interesse, mas de difícil obtenção e de manipulação experimental. Duas das principais espécies-modelo de cestódeos utilizadas frequentemente em pesquisas são descritas nas próximas seções.

1.6.1. *Hymenolepis microstoma*

O cestódeo *Hymenolepis microstoma* foi descrito pela primeira vez em 1845, por Dujardin, o qual isolou o verme presente no ducto biliar de um camundongo (Cunningham & Olson, 2010). Esses vermes apresentam uma distribuição cosmopolita infectando roedores ao redor do mundo e causando a himenolepíase nesses animais.

O ciclo de vida de *H. microstoma* inclui um hospedeiro definitivo roedor e um hospedeiro intermediário artrópode, conforme exemplificado na Figura 4. Os vermes adultos vivem no intestino delgado e, diferentemente de outras espécies do gênero *Hymenolepis*, no ducto biliar dos hospedeiros definitivos roedores. Dentre seus hospedeiros definitivos já descritos estão incluídos os camundongos (*Apodemus Kaup*, *Dendromus Smith*, *Leggada Gray*, *Mastomys Thomas*, *Mus musculus*), gerbilos (*Meriones Illiger*) e camundongos das pradarias (“meadow mice”, *Microtus Schrank*) (Cunningham & Olson, 2010). Os ovos do verme são liberados nas fezes do hospedeiro definitivo e ingeridos pelo hospedeiro intermediário, onde eclodem e liberam a oncosfera. Os hospedeiros intermediários mais bem descritos incluem besouros, adultos ou larvas, das espécies *Tribolium confusum*, *Tribolium castaneum*, *Tenebrio molitor* e *Oryzaephilus surinamensis*. A oncosfera penetra na hemocele do hospedeiro intermediário e se desenvolve no estágio larval cisticeroide. O ciclo de vida se completa com a ingestão do besouro infectado pelo hospedeiro definitivo roedor. O cisticeroide em contato com ácidos estomacais e pepsina atinge sua fase juvenil e é ativado no duodeno em resposta a tripsina e sais biliares. Os vermes juvenis, então, migram para o intestino delgado ou ducto biliar e se desenvolvem ao estágio adulto através da estrobilização.

H. microstoma pode ser mantido em condições laboratoriais e seu ciclo de vida é concluído em, aproximadamente, 3 semanas (Cunningham & Olson, 2010). Besouros (*T. confusum* e *T. castaneum*) são alimentados com tecidos de proglótides grávidas contendo ovos de *H. microstoma*. Após 7-10 dias da infecção, é possível recuperar cisticercoides por meio da dissecação dos besouros. A infecção de camundongos (*M. musculus*) com cisticercoides é realizada via gavagem oral. Dentro de aproximadamente 14 dias, as proglótides posteriores estão grávidas e a maior parte do seu corpo se estende para fora do ducto biliar e para o duodeno do camundongo. Adicionalmente, a ativação de cisticercoides pode ser induzida *in vitro* por meio de tratamento com HCl e pepsina, mimetizando condições estomacais, e tripsina.

Atualmente, existe uma quantidade expressiva de dados ômicos de *H. microstoma* em bancos de dados públicos, promovendo o uso desse organismo-modelo em pesquisas *in silico*. Essa espécie está entre os primeiros cestódeos a ter o genoma completamente sequenciado e anotado (Tsai et al., 2013). Estão disponíveis dados transcriptômicos de RNA-seq dos seus estágios larval ativo e adulto, bem como de segmentos específicos (região anterior, média e posterior) do corpo do verme adulto (Olson et al., 2018; Tsai et al., 2013). Adicionalmente, dados de miRNAs expressos no estágio larval foram recentemente publicados (Macchiaroli et al., 2019).

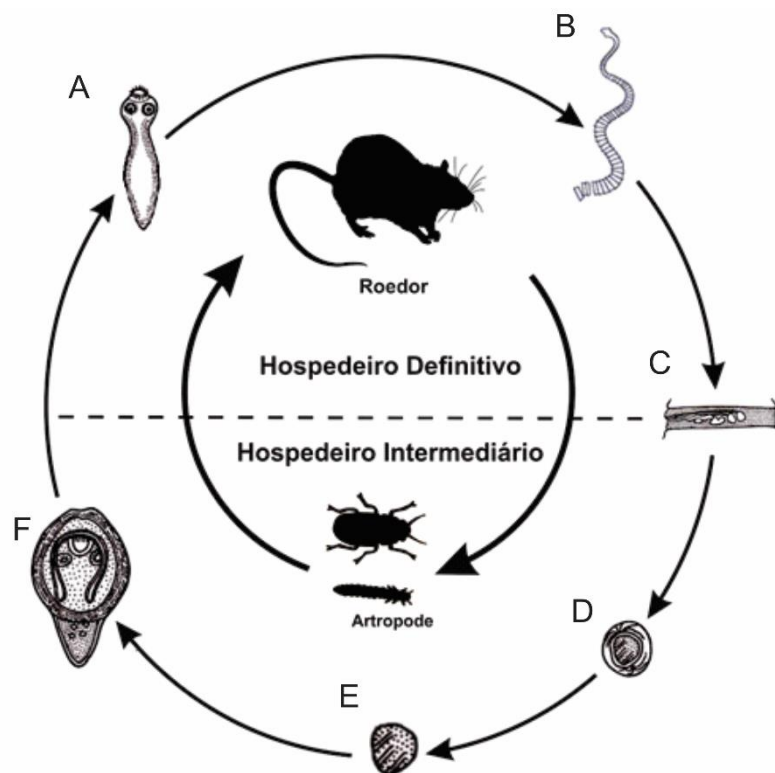


Figura 4. Ciclo de vida de *H. microstoma*. Os besouros infectados (por exemplo, *Tribolium confusum*) são consumidos por roedores (por exemplo, camundongos), liberando os cisticercoides (F) que são ativados para o estágio juvenil (A) e migram para os ducto biliar e intestino delgado. Os vermes estrobilizam e se desenvolvem para o estágio adulto (B), excisam proglótides grávidas (C) e liberam ovos (D) no duodeno do hospedeiro, que são expelidos pelas fezes. As oncosferas (E) são liberadas quando os ovos são consumidos por besouros, permitindo que penetrem na parede intestinal e migrem para a hemocele, onde se desenvolvem para o estágio larval cisticeroide (F).

1.6.2. *Mesocestoides corti*

O cestódeo *Mesocestoides corti*, ou *M. vogae*, na sua forma adulta, foi isolado do intestino de camundongos, *M. musculus*, e descrito pela primeira vez em 1925, por Hoeppli nos Estados Unidos (Hoeppli, 1925). Posteriormente, a forma larval de *M. corti*, denominada tetratirídeo, foi isolada do celoma de lagartos californianos, *Sceloporus occidentalis biseriatus* (Specht & Voge, 1965). Essa espécie foi descrita na América do Norte e sua distribuição geográfica não é bem definida.

O ciclo de vida do *M. corti* não é completamente conhecido, e, apesar de ter sido isolado nas suas formas adulta e larval, o embrião dessa espécie não foi observado na natureza (Loos-Frank, 1991). Porém, acredita-se que o seu ciclo de vida, assim como os de outras espécies do gênero, provavelmente inclui o hospedeiro definitivo e dois hospedeiros intermediários, conforme exemplificado na Figura 5. Diferentemente de outros cestódeos, o *M. corti* possui como particularidade a capacidade de se reproduzir assexuadamente em ambos os hospedeiros, definitivo e intermediários (Figura 5F e 5G) (Eckert et al., 1969).

A forma larval de *M. corti* (tetratirídeo, TT) pode ser mantida *in vivo*, nos hospedeiros experimentais rato (*Rattus norvegicus domestica*) e camundongo (*M. musculus*), e *in vitro*, em meio RPMI suplementado com soro fetal bovino (FBS) (Mellssa M Markoski et al., 2003). A manutenção dos estoques de tetratirídeos são realizadas *in vivo*, por meio de até três passagens em camundongo seguida por uma em rato, de aproximadamente 3 meses cada. Nos hospedeiros experimentais, os tetratirídeos se multiplicam por reprodução assexuada. Os tetratirídeos cultivados *in vitro* também são capazes de realizar reprodução assexuada e diferenciação sexual. A indução da diferenciação sexual é feita por meio de tratamentos com tripsina e mudança de temperatura, e a diferenciação ocorre de 7 a 10 dias, obtendo-se uma elevada taxa (aproximadamente 80%) de estrobilização.

A disponibilidade de dados ômicos de *M. corti* vem aumentando significativamente nos últimos anos. Seu *draft genome* foi publicado em 2018, como parte do projeto 50 *Helminth Genomes* do Wellcome Trust Sanger Institute, e sua anotação se encontra na segunda versão (International Helminth Genomes Consortium, 2019). Em nível transcriptômico, estão disponíveis dados de RNA-seq e miRNA-seq para ambos os estágios larval e adulto (Basika et al., 2016; Basika et al., 2019). Além disso, *M. corti* possui dados proteômicos dos seus estágios larval e adulto, e de produtos

de secreção/excreção do seu estágio larval (Camargo de Lima et al., 2018; Camargo de Lima et al., 2020; Vendelova et al., 2016). Devido ao grande volume de dados ômicos, abrangendo dados genômicos, trancitônicos e proteômicos, *M. corti* se torna um excelente modelo de estudos de dados comparativos *in silico*.

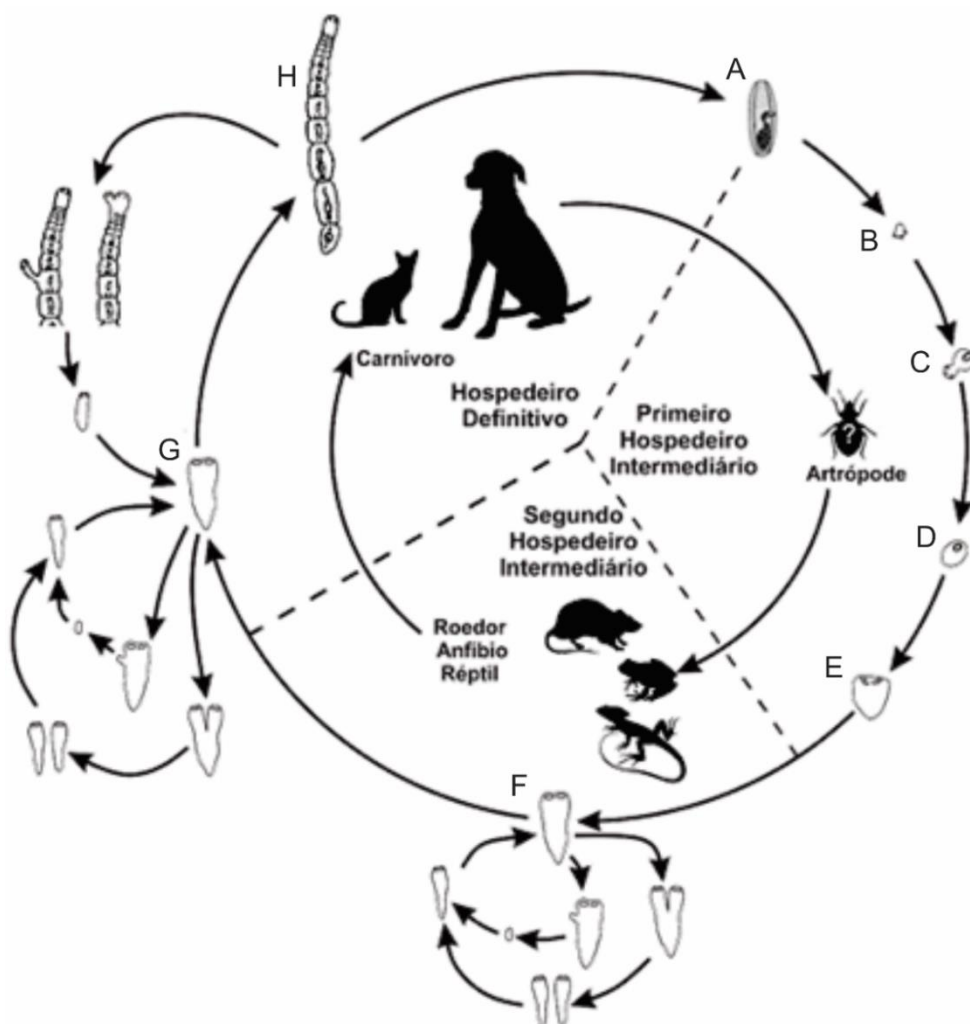


Figura 5. Ciclo de vida de *M. corti*. Modificado de Henrique B. Ferreira (<http://www.ufrgs.br/depbiot/206a/Ciclo.htm> acessado em junho de 2020). O primeiro hospedeiro intermediário seria, provavelmente, um artíopodo coprófago (inseto ou ácaro), que se infecta ao ingerir uma proglótide grávida (A) contendo oncosferas (B) viáveis. No primeiro hospedeiro intermediário a oncosfera eclodiria (C) e o embrião (D) penetraria na cavidade corpórea, onde se desenvolveria em uma larva cisticercóide (E). O primeiro hospedeiro intermediário seria ingerido pelo segundo hospedeiro intermediário (roedores, anfíbios ou répteis). A larva cisticercóide quando ingerida pelo segundo hospedeiro intermediário se desenvolveria no estágio larval tetratirídeo (F). No segundo hospedeiro intermediário, o tetratirídeo se reproduz assexuadamente por fissiparidade ou brotamento. O segundo hospedeiro intermediário, contendo tetratirídeos, é ingerido pelo hospedeiro definitivo carnívoro (raposa, cão ou gambá). No hospedeiro definitivo, o tetratirídeo pode penetrar na cavidade celomática e permanecer como tetratirídeo (G), e se reproduzir assexuadamente, ou migrar para intestino delgado e se desenvolver em verme adulto (H) por estrobilização, e se reproduzir sexuadamente. As proglótides grávidas (A) são liberadas pelas fezes do hospedeiro definitivo.

1.7.JUSTIFICATIVAS

A severidade e os danos causados por cestodíases levou à Organização Mundial da Saúde (<http://www.who.int/en/>) a incluir a equinococoses e a cisticercose na lista de Doenças tropicais negligenciadas (*Neglected tropical diseases*: http://www.who.int/neglected_diseases/diseases/en/). Essa lista de doenças foi criada visando buscar apoio de organizações de todo o mundo para a busca de tratamentos, controle e formas de erradicação destas cestodíases. Dessa forma, estudos relacionados ao combate destas doenças, assim como a elucidação de aspectos biológicos e de relação parasito-hospedeiro dos agentes etiológicos têm sido amplamente realizados (Gabriël et al., 2016; International Helminth Genomes Consortium, 2019; Lorenzatto et al., 2015; Sharma et al., 2016).

Apesar dos resultados das pesquisas e da implementação de programas de controle epidemiológicos em diversos países, os esforços visando à erradicação de cestodíases têm apresentado resultados bastante limitados (Coral-Almeida et al., 2015; Cucher et al., 2016; International Helminth Genomes Consortium, 2019). O insucesso de programas de prevenção, controle e erradicação de cestodíases se deve, em grande parte, à escassez de conhecimentos sobre a biologia do desenvolvimento destes parasitos, sobre aspectos moleculares das interações parasito-hospedeiro e sobre a influência destes fatores sobre a proliferação e, por consequência, a capacidade reprodutiva e dinâmica de transmissão do parasito entre seus hospedeiros.

Nesse contexto, este trabalho visa utilizar dados genômicos e transcritônicos para a identificação de ambas: (i) diferenças entre os platelmintos endoparasitas estrobilados e não-estrobilados; e (ii) similaridades compartilhadas pelos platelmintos estrobilados (cestódeos) relacionadas à transição do estágio larval para o adulto. Do ponto de vista de pesquisa básica, este estudo se propõe a identificar e caracterizar genes relacionados ao processo de desenvolvimento estrobilar, na tentativa de melhor elucidar a biologia do desenvolvimento destes parasitos. Do ponto de vista de potenciais aplicações, os resultados a serem gerados disponibilizarão novos genes-alvo para estudos funcionais, que poderão ser utilizados para o desenvolvimento de drogas anti-helmínticas mais eficientes.

2. OBJETIVOS

2.1. OBJETIVO GERAL

Identificar e caracterizar genes associados ao desenvolvimento de platelmintos da classe Cestoda.

2.2. OBJETIVOS ESPECÍFICOS

2.2.1. Realizar uma análise comparativa *in silico* para predição de genes/proteínas associados à estrobilização de cestódeos;

2.2.2. Avaliar os processos evolutivos atuantes em genes e proteínas preditos como associados à estrobilização de cestódeos;

2.2.3. Demonstrar a ocorrência de possíveis padrões de expressão espaço-temporais conservados entre genes ortólogos de cestódeos preditos como associados à estrobilização de cestódeos;

2.2.4. Inferir os processos biológicos relacionados a genes de função desconhecida preditos como associados à estrobilização de cestódeos.

3. RESULTADOS

Os resultados da tese são apresentados na forma de 3 seções, a primeira compostas por um artigo publicado na revista BMC Genomics, com resultados de análises de genômica e trancitômica comparativas para a identificação de genes relacionados ao desenvolvimento de cestódeos (Seção 3.1); a segunda (seção 3.2) com resultados de experimentos de hibridização *in situ* fluorescente (WMISH) para avaliação da expressão de quatro genes de funções desconhecidas ortólogos em *H. microstoma* e *M. corti*; e a terceira (seção 3.3), com resultados de análises transcritômicas comparativas *in silico* para identificação de padrões de expressão diferencial evolutivamente conservados no desenvolvimento estrobilar.

3.1. CESTODE STROBILATION: PREDICTION OF DEVELOPMENTAL GENES AND PATHWAYS

O artigo que constitui esta seção foi publicado na revista BMC Genomics (<https://bmcgenomics.biomedcentral.com/>). Inclui resultados associados aos objetivos específicos 2.2.1, 2.2.2 e 2.2.4 desta tese. Os experimentos foram delineados pela autora Gabriela Prado Paludo, pelo orientador Henrique B. Ferrira e pela coorientadora Dra. Claudia Elizabeth Thompson. Todos os experimentos descritos no manuscrito, assim como a sua redação, foram realizados pela autora Gabriela Prado Paludo. As contribuições dos coautores estão descritas abaixo. Os *scripts* utilizados neste trabalho e todo o material suplementar (*Supplementary Files*) associado estão disponíveis no Apêndice 1 (disponibilizado em forma digital).

Autores:

Gabriela Prado Paludo (GPP), Claudia Elizabeth Thompson (CET), Kendi Nishino Miyamoto (KNM), Rafael Lucas Muniz Guedes (RLMG), Arnaldo Zaha (AZ), Ana Tereza Vasconcelos (ATV), Martin Cancela Sehabiague (MC) e Henrique B. Ferreira (HBF).

Contribuições:

GPP, CET, HBF, KNM, AZ e ATV contribuíram na idealização do projeto. GPP, CET, RLMG realizaram a identificação e seleção dos grupos de ortólogos. GPP e CET realizaram as análises de filogenias, filogenômica e de seleção positiva. GPP e KNM realizaram as análises de redes de co-expressão gênica. GPP, CET, HBF e MC analisaram e interpretaram os resultados. GPP, CET escreveram o manuscrito. HBF, KNM, AZ e MC revisaram o manuscrito.

RESEARCH ARTICLE

Open Access



Cestode strobilation: prediction of developmental genes and pathways

Gabriela Prado Paludo^{1,2}, Claudia Elizabeth Thompson^{2,3}, Kendi Nishino Miyamoto², Rafael Lucas Muniz Guedes^{4,5}, Arnaldo Zaha², Ana Tereza Ribeiro de Vasconcelos⁴, Martin Cancela^{1,2} and Henrique Bunselmeyer Ferreira^{1,2*}

Abstract

Background: Cestoda is a class of endoparasitic worms in the flatworm phylum (Platyhelminthes). During the course of their evolution cestodes have evolved some interesting aspects, such as their increased reproductive capacity. In this sense, they have serial repetition of their reproductive organs in the adult stage, which is often associated with external segmentation in a developmental process called strobilation. However, the molecular basis of strobilation is poorly understood. To assess this issue, an evolutionary comparative study among strobilated and non-strobilated flatworm species was conducted to identify genes and proteins related to the strobilation process.

Results: We compared the genomic content of 10 parasitic platyhelminth species; five from cestode species, representing strobilated parasitic platyhelminths, and five from trematode species, representing non-strobilated parasitic platyhelminths. This dataset was used to identify 1813 genes with orthologues that are present in all cestode (strobilated) species, but absent from at least one trematode (non-strobilated) species. Development-related genes, along with genes of unknown function (UF), were then selected based on their transcriptional profiles, resulting in a total of 34 genes that were differentially expressed between the larval (pre-strobilation) and adult (strobilated) stages in at least one cestode species. These 34 genes were then assumed to be strobilation related; they included 12 encoding proteins of known function, with 6 related to the Wnt, TGF-β/BMP, or G-protein coupled receptor signaling pathways; and 22 encoding UF proteins. In order to assign function to at least some of the UF genes/proteins, a global gene co-expression analysis was performed for the cestode species *Echinococcus multilocularis*. This resulted in eight UF genes/proteins being predicted as related to developmental, reproductive, vesicle transport, or signaling processes.

Conclusions: Overall, the described in silico data provided evidence of the involvement of 34 genes/proteins and at least 3 developmental pathways in the cestode strobilation process. These results highlight on the molecular mechanisms and evolution of the cestode strobilation process, and point to several interesting proteins as potential developmental markers and/or targets for the development of novel antihelminthic drugs.

Keywords: Platyhelminthes, Segmentation, Development, Comparative genomics, Co-expression network

* Correspondence: henrique@cbiot.ufrgs.br

¹Laboratório de Genômica Estrutural e Funcional, Centro de Biotecnologia (CBiot), Universidade Federal do Rio Grande do Sul (UFRGS), Porto Alegre, RS, Brazil

²Programa de Pós-Graduação em Biologia Celular e Molecular, CBIOT, UFRGS, Porto Alegre, RS, Brazil

Full list of author information is available at the end of the article



© The Author(s). 2020 **Open Access** This article is licensed under a Creative Commons Attribution 4.0 International License, which permits use, sharing, adaptation, distribution and reproduction in any medium or format, as long as you give appropriate credit to the original author(s) and the source, provide a link to the Creative Commons licence, and indicate if changes were made. The images or other third party material in this article are included in the article's Creative Commons licence, unless indicated otherwise in a credit line to the material. If material is not included in the article's Creative Commons licence and your intended use is not permitted by statutory regulation or exceeds the permitted use, you will need to obtain permission directly from the copyright holder. To view a copy of this licence, visit <http://creativecommons.org/licenses/by/4.0/>. The Creative Commons Public Domain Dedication waiver (<http://creativecommons.org/publicdomain/zero/1.0/>) applies to the data made available in this article, unless otherwise stated in a credit line to the data.

Background

The phylum Platyhelminthes comprise a diverse array of species that occur in all continental masses, seas, rivers, and lakes. Platyhelminths (flatworms) are dorsoventrally flattened bilaterian acelomates that lack an anus, possess a low level of cephalization, and are usually hermaphroditic [1]. They are divided into four main classes: Turbellaria (free-living planarians), Monogenea (mostly aquatic ectoparasites), Trematoda (flukes), and Cestoda (tapeworms) [2].

Parasitic flatworms (monogeneans, flukes, and tapeworms) form a monophyletic group known as Neodermata [3], which constitutes one of the three largest groups of metazoan parasites that infect vertebrates (the others being nematodes and arthropods). Flukes and tapeworms form a derivate monophyletic group of endoparasitic species, some of which are of great medical and veterinary importance. For instance, the World Health Organization's list of neglected tropical diseases (http://www.who.int/neglected_diseases/diseases/en/) includes several caused by endoparasitic flatworms, namely food-borne trematodiases (caused by *Clonorchis* spp. and *Fasciola* spp., among other flukes), schistosomiases (caused by *Schistosoma* spp.), echinococcoses (caused by *Echinococcus* spp.), and taeniases/cysticercosis (caused by *Taenia* spp.).

Tapeworms are obligate endoparasites of vertebrates that display complex life cycles in which morphologically and physiologically distinct forms alternate, adapted to the survival and development of different intermediate host species [4, 5]. The Cestoda class is divided into two subclasses: Eucestoda and Cestodaria. The Eucestoda subclass ('true' tapeworms) includes *Echinococcus* spp. and *Taenia* spp., which are the main species of medical and veterinary interest. Eucestodes have increased fertility due to metamerism (the serial repetition of body structures, or metameres) [6]. In eucestodes, metamerism is represented by the internal serial repetition of their reproductive organs, called proglottization [4, 6]. In the majority of eucestode evolutionary lineages, proglottization is associated with the external delimitation (segmentation) of proglottids, in a developmental process called strobilation [4, 5]. Eucestode strobilation occurs during the transition from the larval to adult stage and involves the repetitive generation of new proglottids in the base of the head (scolex), in the so-called neck region. Strobilation persists during the whole life of the adult worm, with each proglottid moving toward the posterior end as a new one is generated in the neck region. Strobilation allows adult cestodes to have larger numbers of hermaphroditic sexual organ sets, promoting both cross and self-fertilization and the frequency of egg-release by the progressive excision of gravid proglottids [4, 6].

In cestode evolution, the eucestodes constitute the most recently evolved subclass, and includes orders with different degrees of proglottization/strobilation [4]. The most ancestral eucestodes (those from the order Caryophyllidea) do not undergo proglottization and are non-segmented, similar to the other ancestral cestodes (i.e. those from the Cestodaria subclass). On the other hand, eucestodes of the order Spathebothriidea have proglottization without body segmentation, whereas others from more recently evolved orders (e.g. members of the order Cyclophyllidea, including the most relevant cestodes from an epidemiological point of view) undergo full strobilation (i.e. proglottization along external segmentation).

Thus, the evolution of strobilated tapeworms from non-segmented ancestors could be explained by two hypotheses: the initial loss of segmentation from an ancestral segmented lophotrochozoan, followed by the re-emergence of this process in more recent eucestode lineages in the form of proglottization/strobilation; or the independent evolution of proglottization/strobilation within the eucestode lineage, which gave rise to the present proglottized or fully strobilated orders. Therefore, cestodes are interesting subjects for evolutionary developmental studies [7], especially for those aiming to elucidate the evolutionary origins of developmental novelties related to strobilation. To achieve this, it is important to comparatively analyze cestode genomes and identify candidate genes related to these developmental processes.

So far little is known about strobilation and other developmental processes in cestodes at the molecular level, despite the relevance of such knowledge for both basic evolutionary developmental studies [7] and the identification of targets for new alternative drugs against cestode parasites [8–11]. To better understand cestode molecular biology, several species have been targeted by "omics" studies, including genomic, transcriptomic, and proteomic surveys. *Echinococcus granulosus*, *Echinococcus multilocularis*, *Hymenolepis microstoma*, and *Taenia solium* were the first cestodes to have their genomes completely sequenced [12]. Later, the 50 Helminth Genomes Project provided the draft genome sequence of another 14 cestode species, along with those of many other helminths [13]. Furthermore, transcriptomic and proteomic data are available for different life-cycle stages of cestode species, such as *E. granulosus*, *E. multilocularis*, *H. microstoma*, and *Mesocestoides corti* [12, 14–18]. In some of these studies, the differential expression of transcripts and proteins between larval (non-strobilated) and adult (strobilated) forms has been assessed. For instance, tetrathyridia (larvae) and adult segmented worms of the *M. corti* species were compared with regard to their miRNA [14], mRNA [15, 16] and protein

[17] repertoires, providing some clues about the gene products differentially expressed during the transition between these stages. The initial steps of strobilation were addressed by two proteomic studies; one comparing *M. corti* bona fide tetrathyridia with tetrathyridia after 24 h of strobilation induction [18] and the other identifying proteins newly synthesized in *E. granulosus* pre-adult forms (protoscoleces) upon strobilation induction [19].

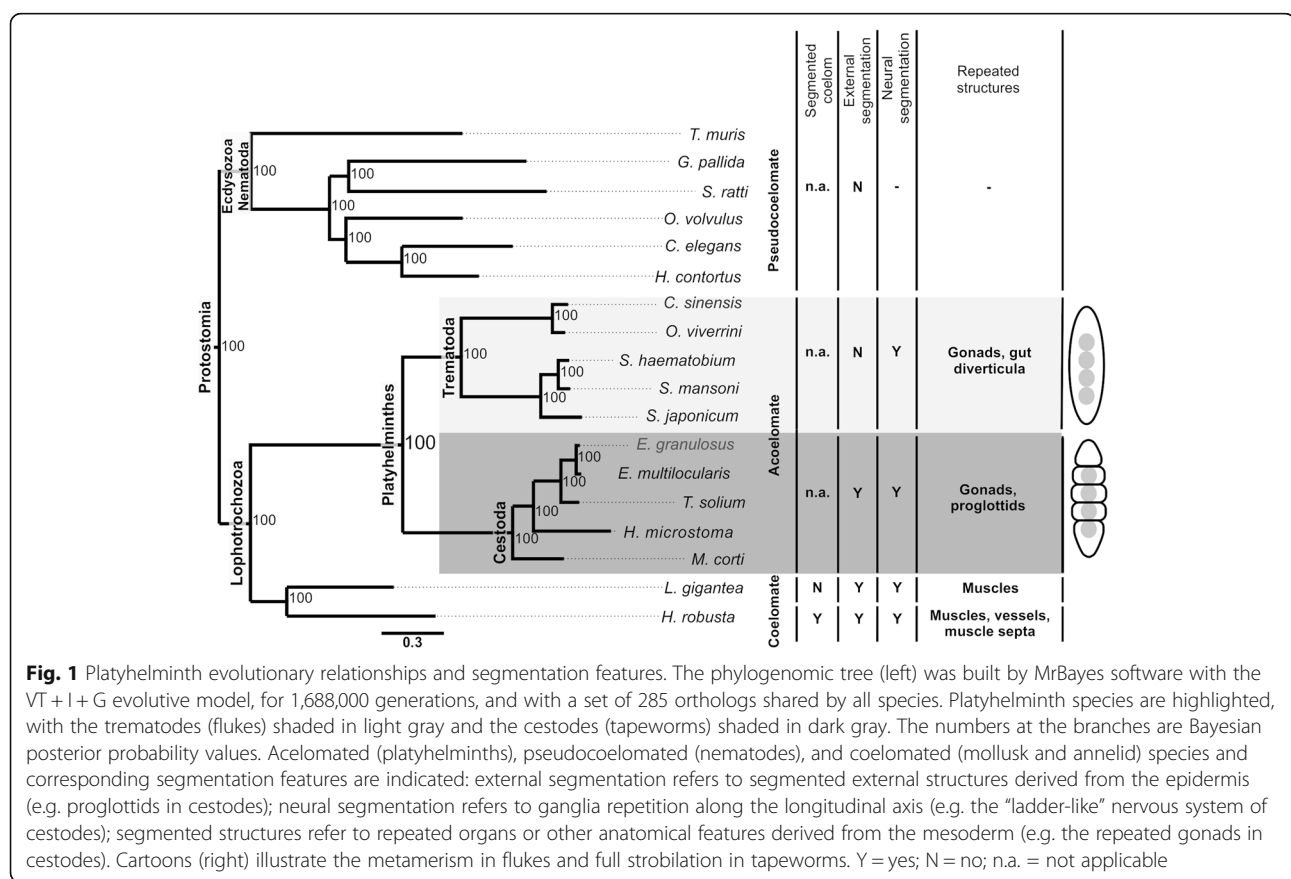
Here, a data mining approach, integrating genomic and transcriptomic data, was carried out to identify cestode developmental genes and pathways, and to demonstrate the molecular mechanisms involved in the strobilation process. Eighteen species from the Protostomia clade of Bilateria metazoans were assessed; 10 strobilated and non-strobilated species of flatworms and 8 outgroup species. Their genome sequences and transcriptional profiles were compared to identify tapeworm developmental genes associated with strobilation and, among these genes, those that had differential expression in the cestode pre-strobilated and strobilated stages. Genes associated with the strobilation process had their evolutionary histories investigated through phylogenetic and positive selection analyses. Moreover, functional enrichment provided further information on annotated

gene products, and co-expression network analyses provided further information on the products of hypothetical genes. Overall, 34 proteins associated with strobilation were identified, providing evidence of the involvement of both conserved and novel cellular pathways in cestode strobilation.

Results

Phylogenomic analyses of strobilated and non-strobilated Platyhelminthes cestode species

A phylogenomic analysis was carried out with 10 neodermatan genomes, comprising 5 tapeworm species to represent strobilated platyhelminths (*E. granulosus*, *E. multilocularis*, *H. microstoma*, *M. corti*, and *T. solium*); and by 5 fluke species to represent non-strobilated platyhelminths (*Clonorchis sinensis*, *Schistosoma haematobium*, *Schistosoma japonicum*, *Schistosoma mansoni*, and *Opisthorchis viverrini*). An outgroup set of 8 genomes was used in the analysis, comprising 6 genomes from nematodes to represent non-segmented helminths (*Cae-norhabditis elegans*, *Globodera pallida*, *Haemonchus contortus*, *Onchocerca volvulus*, *Strongyloides ratti*, and *Trichuris muris*); 1 genome from an annelid to represent a segmented protostome (*Helobdella robusta*); and 1



genome from a mollusk to represent a non-segmented protostome (*Lottia gigantea*).

Overall, 11,300 orthogroups of deduced protein sequences were identified, of which 285 have orthologous genes in all 18 analyzed species. These 285 protein sets were aligned, and the alignments were concatenated in a supermatrix for phylogenomic inference via Bayesian analysis. In the resulting tree (Fig. 1), two endoparasitic flatworm monophyletic groups were highly supported, with posterior probability of 100, one corresponding to flukes (trematodes) and the other to tapeworms (cestodes). The platyhelminthes were clearly divided into two clades, one with external body segmentation (with full strobilation) and the other with only internal segmentation (proglottization). Regarding protostome relationships, the tree supports the monophyly of the Ecdysozoa, Lophotrochozoa, Platyhelminthes, Cestoda, and Trematoda clades.

Identification of strobilation-related proteins

To identify proteins related to the strobilation process, orthogroups were selected based on their presence in tapeworm species or absence from fluke species (Fig. 2). From the 11,300 identified orthogroups of deduced protein sequences, 6964 (61.63%) were found in at least one tapeworm species, whereas 6985 (61.81%) were found in at least one fluke species (Fig. 2a). From this subtotal, a set of 3365 orthogroups were shared by all 5 tapeworm species, and a set of 2809 orthogroups were shared by all 5 fluke species (supplementary Figure S1). It was assumed that proteins essential for tapeworm development would be found in all strobilated species but may be absent from non-strobilated species. Based on this criterion, 1813 tapeworm strobilation-related orthogroups were initially selected (Fig. 2a; supplementary Table S1). From the 1813 selected orthogroups, 910 were found in all tapeworms that were absent from 1 to 4 fluke species, whereas 903 orthogroups were found in all tapeworms that were absent from all 5 fluke species.

As tapeworm strobilation is a developmental process, we performed a functional enrichment of the initial set of 1813 tapeworm strobilation-related orthogroups. The functional assignment of these orthogroups is shown in supplementary Table S1; the biological process assignment is summarized in Fig. 2b, and the assigned molecular functions and cellular components are summarized in supplementary Figure S2. Overall, 152 orthogroups were assigned to developmental processes (highlighted in yellow in supplementary Table S1) and then selected for further analyses. A total of 304 orthogroups of UF proteins (highlighted in blue in supplementary Table S1) were also selected, as at least some of these may also be related to developmental processes.

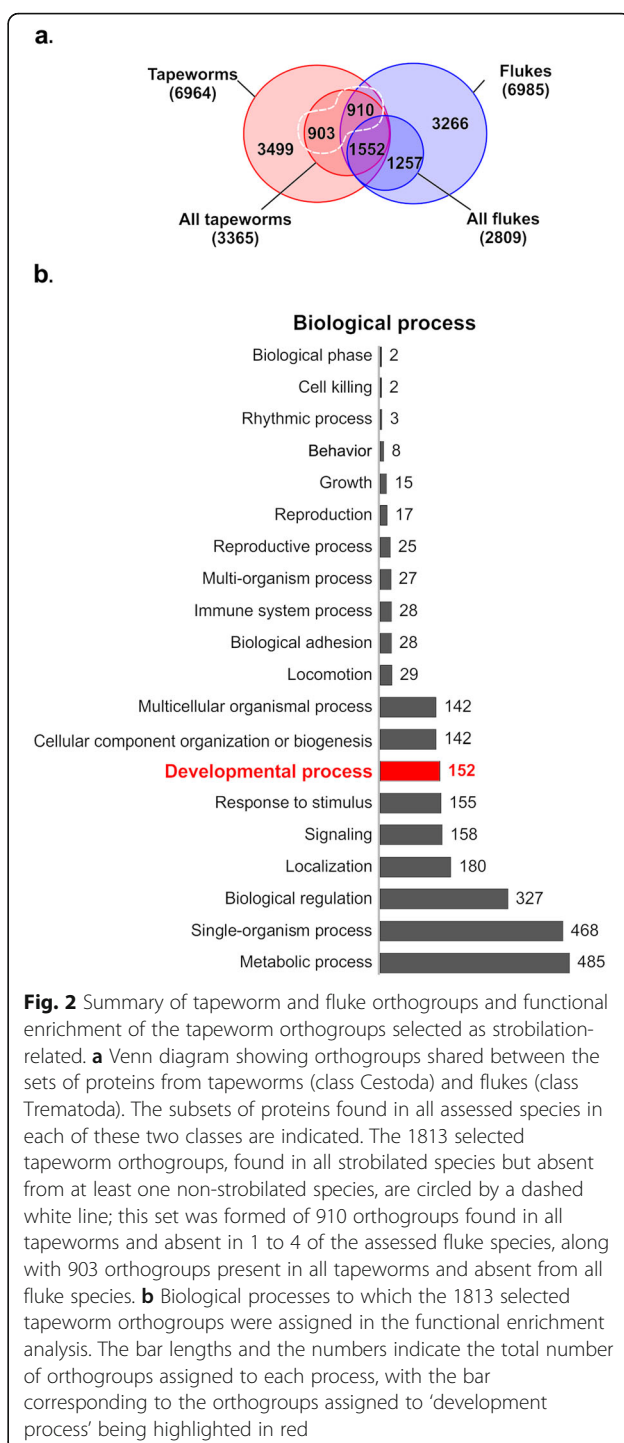


Fig. 2 Summary of tapeworm and fluke orthogroups and functional enrichment of the tapeworm orthogroups selected as strobilation-related. **a** Venn diagram showing orthogroups shared between the sets of proteins from tapeworms (class Cestoda) and flukes (class Trematoda). The subsets of proteins found in all assessed species in each of these two classes are indicated. The 1813 selected tapeworm orthogroups, found in all strobilated species but absent from at least one non-strobilated species, are circled by a dashed white line; this set was formed of 910 orthogroups found in all tapeworms and absent in 1 to 4 of the assessed fluke species, along with 903 orthogroups present in all tapeworms and absent from all fluke species. **b** Biological processes to which the 1813 selected tapeworm orthogroups were assigned in the functional enrichment analysis. The bar lengths and the numbers indicate the total number of orthogroups assigned to each process, with the bar corresponding to the orthogroups assigned to 'development process' being highlighted in red

Furthermore, considering that the strobilation process occurs only in the adult tapeworm and not in the larval stage(s), we used available transcriptomic data of three tapeworm species (*E. multilocularis*, *H. microstoma*, and *M. corti*) to identify proteins from the selected 326 orthogroups (152 development-related orthogroups and 304 UF proteins) whose genes have differential

Table 1 Summary of the tapeworm proteins selected as being strobilation-related. The presence of orthologues in species of other taxa is indicated by an 'x'. Differential expression of the corresponding genes in larval versus adult stages is indicated by an arrow, with up (↑) and down (↓) arrows indicating up and down-regulation, respectively, in the adult (strobilated) stage; a dot (●) indicates that there is no differential expression between these stages. Abbreviations of protein names are as follows: bone morphogenetic protein 2 (BMP-2); Cyclin-G-associated kinase (GAK); Groucho protein (Groucho); Homeobox protein B4a (HoxB4a); Lim homeobox protein lhx1 (LHX1); membrane-associated guanylate kinase protein 2 (MAGI2); serine/threonine protein kinase Mark2 (Mark2); atrial natriuretic peptide receptor 1 (NPR1); RNA binding motif single stranded interacting (RBMS); serine/threonine protein kinase (Ser:Thr kinase); mothers against decapentaplegic homolog 4-like (SMAD4); and Pangolin J (TCF/LCF). Proteins of unknown function (UF) are identified by numbers according to the corresponding orthogroups

| Protein name | Platyhelminthes | | Cestoda | | Annelida | | Mollusca | | Nematoda | | | | | | |
|----------------|-----------------|-------------|--------------|-----------------------------|---------------------------|---------------|--------------------------------|-----------------------|-----------|------------|------------|--------------|--------------|-------------|----------|
| | Trematoda | C. sinensis | O. viverrini | S. haematobium ^a | S. japonicum ^b | E. granulosus | E. multilocularis ^c | M. corti ^d | T. solium | H. robusta | C. elegans | G. pallidula | H. contortus | O. volvulus | S. tauri |
| BMP-2 | | | | | x | ↑ | | ● | ● | ● | x | x | | | |
| GAK | x | x | | ● | x | ↓ | | | x | x | x | x | x | x | x |
| Groucho | x | | ● | x | x | ↓ | ● | → | ● | ● | x | x | x | x | x |
| HoxB4a | | | | | x | | | | x | x | | | | | |
| LHX1 | | | | | x | → | ● | ● | ● | ● | x | x | x | x | x |
| MAGI2 | | | | | x | ↑ | | | x | x | x | x | x | x | x |
| Mark2 | | | | | x | ↓ | | | x | x | x | x | x | x | x |
| NPR1 | | | | | ● | × | | | x | x | x | x | x | x | x |
| RBMS | | | | | x | × | | | x | x | x | x | x | x | x |
| Ser:Thr kinase | | | | | x | ↓ | | | x | x | x | x | x | x | x |
| SMAD4 | | | | | x | ↓ | ● | ● | ● | ● | ↑ | ↑ | ↑ | ↑ | ↑ |
| TCF/LCF | | | | | x | ↓ | ● | ● | ● | ● | ● | ● | ● | ● | ● |
| UF1 | x | | | | x | x | x | x | x | x | x | x | x | x | x |
| UF2 | | | | | | | | | | | | | | | |
| UF3 | | | | | | | | | | | | | | | |
| UF4 | | | | | | | | | | | | | | | |
| UF5 | | | | | | | | | | | | | | | |
| UF6 | | | | | | | | | | | | | | | |
| UF7 | | | | | | | | | | | | | | | |
| UF8 | | | | | | | | | | | | | | | |
| UF9 | | | | | | | | | | | | | | | |
| UF10 | | | | | | | | | | | | | | | |
| UF11 | | | | | | | | | | | | | | | |
| UF12 | | | | | | | | | | | | | | | |
| UF13 | | | | | | | | | | | | | | | |

Table 1 Summary of the tapeworm proteins selected as being strobilation-related. The presence of orthologues in species of other taxa is indicated by an 'x'. Differential expression of the corresponding genes in larval versus adult stages is indicated by an arrow, with up (↑) and down (↓) arrows indicating up and down-regulation, respectively, in the adult (strobilated) stage; a dot (●) indicates that there is no differential expression between these stages. Abbreviations of protein names are as follows: bone morphogenetic protein 2 (BMP-2); Cyclin-G-associated kinase (GAK); Groucho protein (Groucho); Homeobox protein B4a (HoxB4a); Lim homeobox protein lhx1 (LHX1); membrane-associated guanylate kinase protein 2 (MAGI2); serine/threonine protein kinase Mark2 (Mark2); atrial natriuretic peptide receptor 1 (NPR1); RNA binding motif single stranded interacting (RBMS); serine/threonine protein kinase (Ser:Thr kinase); mothers against decapentaplegic homolog 4-like (SMAD4); and Pangolin J (TCF/LCF). Proteins of unknown function (UF) are identified by numbers according to the corresponding orthogroups (Continued)

| Protein name | Platyhelminthes | | Cestoda | | | | | | | | | | Annelida | | Mollusca | | Nematoda | |
|--------------|-----------------|-------------|--------------|-----------------------------|---------------------------|---------------|--------------------------------|----------------------------|-----------------------|-----------|------------|-------------|------------|--------------|--------------|-------------|----------|----------|
| | Trematoda | C. sinensis | O. viverrini | S. haematobium ^a | S. japonicum ^b | E. granulosus | E. multilocularis ^c | H. microstoma ^d | M. corti ^e | T. solium | H. robusta | L. gigantea | C. elegans | G. pallidula | H. contortus | O. volvulus | S. ratti | T. muris |
| UF14 | | | | x | ↑ | | | ↑ | ● | | | x | | | | | | |
| UF15 | x | x | | ● | | x | ↑ | | ● | | x | x | x | | | | | |
| UF16 | | | ● | | | x | ↓ | | ● | | | x | | | | | | |
| UF17 | | | | | x | ↓ | | | ● | | | x | | | | | | |
| UF18 | x | x | ↓ | | ● | x | | ● | | | x | ↑ | | | | | | |
| UF19 | x | x | | | | x | ↑ | | ● | | x | ↑ | | | | | | |
| UF20 | x | | | | ● | x | ↑ | | ● | | x | ↑ | x | | | | | |
| UF21 | | x | | | | x | ↑ | | ● | | x | ● | x | | | ● | | |
| UF22 | | | | | | x | ↓ | | ● | | | x | | | | | | |

^aS. haematobium expressed sequence tag libraries analysis (Young et al. 2012) [20]

^bS. japonicum RNA-seq analysis (Prataso et al. 2012) [21]

^cE. multilocularis RNA-seq analysis (Tsai et al. 2013) [12]

^dH. microstoma RNA-seq analysis (Tsai et al. 2013) [12]

^eM. corti RNA-seq data analysis (Basika et al. 2019) [16]

expression in the larval (pre-strobilation) and adult (strobilated) stages. The differentially expressed orthologous genes in the larval and adult stages of the non strobilated flukes *S. haematobium* [20] and *S. mansoni* [21] were excluded to avoid genes not related to strobilation. This resulted in 12 development-related and 22 UF proteins (from now on identified as UF 1–22) being selected as strobilation-related proteins (Table 1, supplementary Table S2).

The selected set of 12 proteins previously associated with development in other organisms was mapped into cellular pathways based on KEGG data (Fig. 3). Among these proteins, Groucho, MARK2, and TFC/LCF were

mapped as components of the Wnt pathway; BMP2 and Smad4 were mapped as components of the TGF- β /BMP pathway; and NPR1 was mapped as component of the G-protein coupled receptor signaling pathway. This provided evidence of the involvement of some well-known developmental pathways in cestode strobilation.

To evaluate and confirm the homology of the proteins in the selected orthogroups, we performed functional domain predictions and comparisons (Fig. 4, supplementary Table S3). In all cases, the proteins within the orthogroup showed the same profile of predicted domains, further confirming their orthologies. In the set of 12 developmental proteins, several functional domains

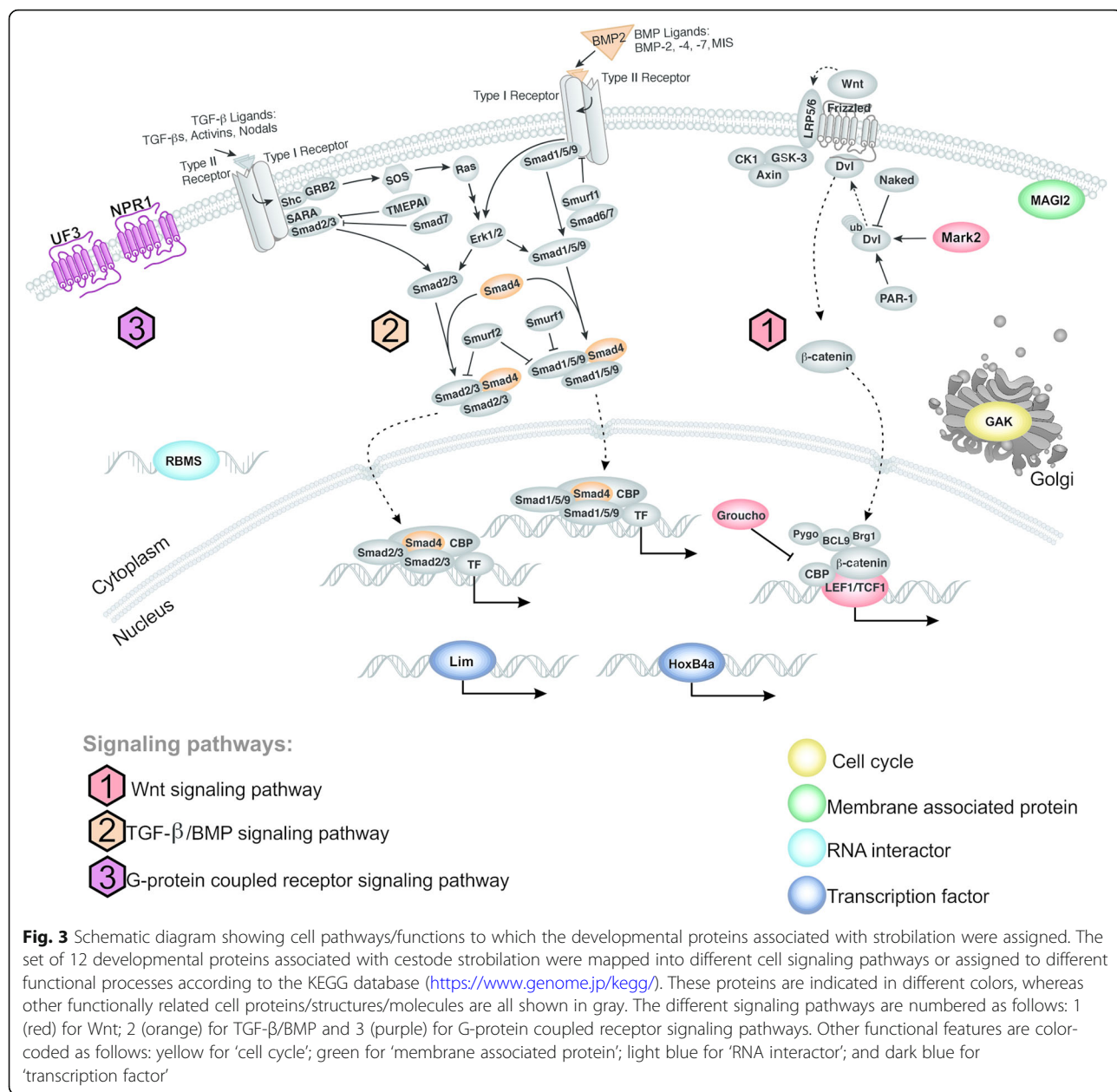
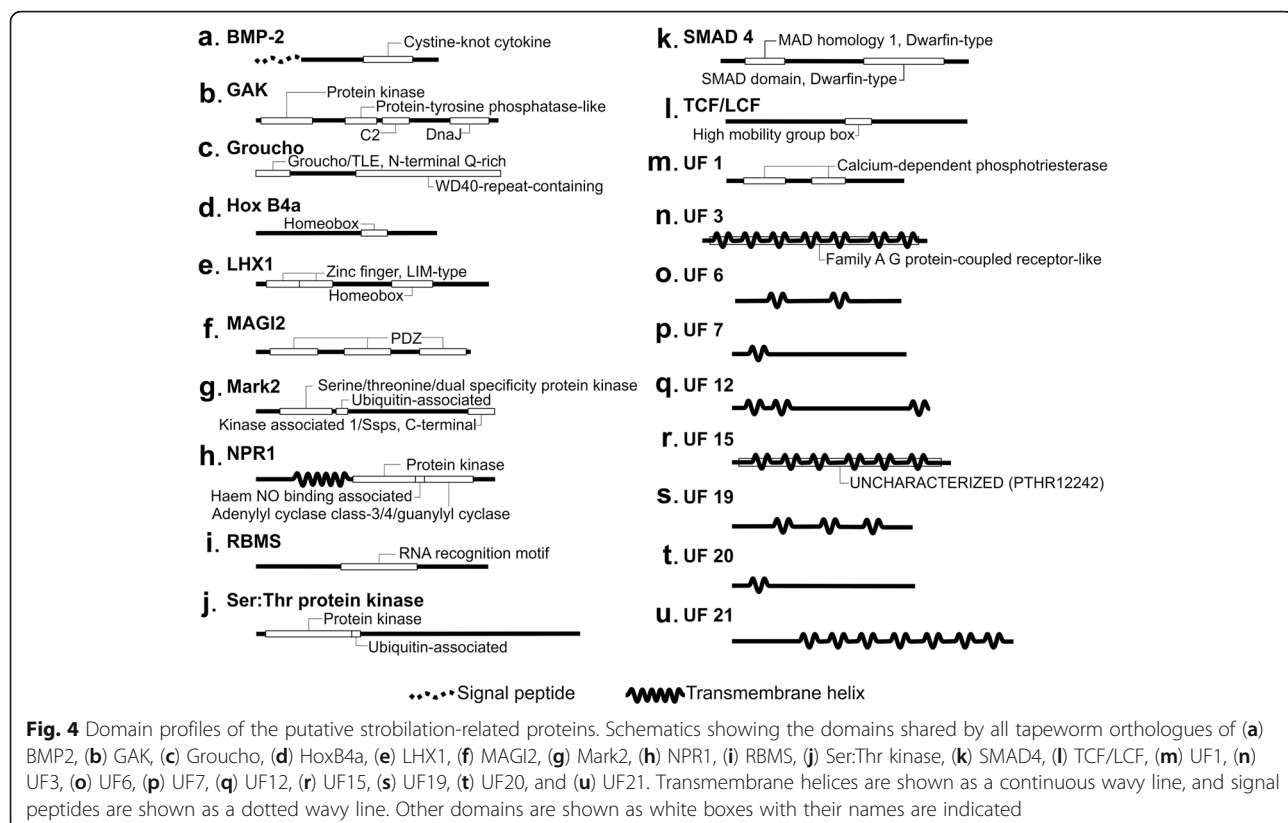


Fig. 3 Schematic diagram showing cell pathways/functions to which the developmental proteins associated with strobilation were assigned. The set of 12 developmental proteins associated with cestode strobilation were mapped into different cell signaling pathways or assigned to different functional processes according to the KEGG database (<https://www.genome.jp/kegg/>). These proteins are indicated in different colors, whereas other functionally related cell proteins/structures/molecules are all shown in gray. The different signaling pathways are numbered as follows: 1 (red) for Wnt; 2 (orange) for TGF- β /BMP and 3 (purple) for G-protein coupled receptor signaling pathways. Other functional features are color-coded as follows: yellow for 'cell cycle'; green for 'membrane associated protein'; light blue for 'RNA interactor'; and dark blue for 'transcription factor'



were identified, including a signal peptide and homeobox (Hox B4a and LHX1), RNA recognition motif, and PDZ domains. In the set of 22 UF proteins, 8 had transmembrane domains, two of them in association with another functional domain (a family A G protein-coupled receptor-like in UF 3 and an uncharacterized PTHR12242 domain in UF 15). Two calcium dependent phosphotriesterase domains were also identified in another UF protein (UF 1). No functional domains were found in the remaining 13 UF proteins.

Evolutionary analyses of strobilation-related proteins

A comprehensive search for orthologs was carried out for all the identified strobilation-related proteins, defining 34 orthogroups. The resulting data is summarized in the supplementary Figure S3. It was verified that half (17) of these proteins (MAGI2, Mark2, RBMS, Ser:Thr kinase, TCF/LCF, UF 3, UF 5–14, and UF 22) had orthologs present only among cestodes. Only eight of the strobilation-related proteins had orthologs in non-flatworm lophotrocozoans, namely BMP-2, GAK, Groucho, Hox B4a, LHX1, NPR1, SMAD4, and UF 15. The remaining nine assessed targets (UF 1–2, UF 4, and UF 16–21) showed orthologs only among flatworms. It is interesting to note that considering this last set of 17 proteins were not cestode-exclusive, homologies among cestode orthologues (47.01–81.24%) were considerably

higher than their homologies to orthologs from the other assessed taxa (15.82–48.45%) (supplementary Table S4).

Phylogenetic analyses were then performed to describe the evolutionary history of the 34 putative strobilation-related orthogroups (supplementary Table S5). The resulting trees (supplementary Figure S4–S37) agreed with the monophyly of tapeworms previously established by the phylogenomic analysis. The cyclophyllidean species from the Hymenolepididae and Mesocestoididae families (*H. microstoma* and *M. corti*, respectively) alternated as the most basal, whereas members of the Taeniidae family were more derived.

To address whether the evolution of these putative strobilation-related orthogroups could be under selective pressure, we performed searches to detect codons under positive selection. All codon sequences were aligned and the best phylogenetic tree for each orthogroup was selected (supplementary Table S6) for use in the positive selection analysis. The results suggested that the assessed orthogroups have not been under positive selection, except for a single site in the UF 16 orthogroup (supplementary Table S7).

Functional analyses of strobilation-related UF proteins

Most of the proteins selected as being strobilation-related do not have any previously described biological

function (UF 1–22). Therefore, to help determine their functional roles in tapeworm development, we performed a gene co-expression network analysis using the available transcriptomic data for the *E. multilocularis* pre-adult stage. Data from a pre-adult stage was used because of the lack of RNA-seq data from adult cestodes, in the amount and quality, required to allow the generation of a network based on gene co-expression.

Network construction was based on eight *E. multilocularis* RNA-seq samples, for which no sample outliers were identified (supplementary Figure S38). The resulting network consisted of 2957 nodes and 2,140,516 connections. Gene co-expressions were detected for 15 proteins in the set of 34 selected as strobilation-related, namely Hox B4a, LHX1, MAGI2, and NPR1 and UF 2, 3, 5, 6, 10, 11, 13, 15, 16, 19, and 20. Only eight of them, namely UFs 2, 6, 10, 11, 15, 16, 19, and 20, were considered hubs (supplementary Table S8) and selected for further analyses. In Fig. 5, the modules to which the corresponding genes of these hub proteins belong to are indicated. With the aim of enhancing the information robustness of these selected network modules, we used the hub genes from each selected module as input for protein-protein interaction (PPI) analyses. Assuming that interacting proteins of a given module are usually involved in the same biological functions [22], we performed a functional enrichment for each of the eight selected modules (supplementary Figure S39 and supplementary Tables S9–15) to evaluate possible functions or pathways involving the strobilation-related UF proteins (Fig. 5). Based on the functional enrichment, the UFs 2, 6, 10, 11, 15, 16, 19, and 20 hub proteins were assigned to Wnt or G protein-coupled signaling pathways, and/or to biological functions such as vesicle-mediated transport, inductive cell migration, cell adhesion, apoptotic processes, and cellular response to interleukin-1, linking these pathways and functions to tapeworm strobilation.

Discussion

Cestode developmental processes, including those involved in the transition from larvae to adult segmented worms (strobilation), are still poorly understood and a truly relevant theme in flatworm biology. Some previous proteomic and transcriptomic studies have started to unravel at least some of the molecular events underpinning cestode strobilation [12, 14–19], but we are still far from understanding all the mechanisms involved in this complex developmental process. In this study, we generated novel and complementary information regarding cestode strobilation using an integrative data mining approach that compared the genomic data of five tapeworm species and five fluke species, and compared the

transcriptomic data of different developmental stages of three tapeworms and one fluke.

The draft genomes selected for analyses were chosen because of their advanced stages of sequencing, assembly, and annotation, and allowed the correct identification of genes/proteins and a precise definition of orthogroups. With that, a dependable assessment of the presence/absence of orthologues in the genomes of closely related tapeworm and fluke species was achieved. Overall, 34 proteins (12 developmental proteins and 22 UF proteins) were selected based on the following criteria (i) presence in all fully strobilated species; (ii) absence in at least one non-strobilated species; (iii) annotation as a developmental gene/protein or with unknown function; and (iv) differential expression in strobilated developmental stages.

The use of such an approach and criteria resulted in the identification of a set of strobilation-related genes that can be regarded as complementary to other sets of genes previously associated with this developmental process based solely on their differential expression at the transcriptional level [12, 14–16] and/or at the protein level [17–19]. As each of these in silico or wet lab approaches rely on different technologies and present different advantages and limitations, they complement each other in the assessment of complex biological processes, such as those involved in development or disease [23–25]. Therefore, the ongoing and progressive assessment of cestode strobilation by different in silico and wet lab approaches is expected to generate a more comprehensive picture of the molecules, mechanisms, and developmental pathways underlying this complex biological process.

An interesting feature of the novel set of 34 proteins identified as being related to strobilation was that half (17) of them were exclusive from tapeworms. Moreover, the remaining 17 proteins, although not exclusive, were considerably more conserved among cestodes (with identities 20.2–44.6% higher) than with their orthologs from other taxa, suggesting some degree of specialization of these proteins within the Cestoda class. As expected, these “non-exclusive” proteins are monophyletic for tapeworms, and nine of them had orthologs identified only for flatworm species, including tapeworms and flukes. Therefore, within the set of 34 proteins selected as being strobilation-related, 17 are assumed to be related to cestode-exclusive functions, whereas 9 are assumed to be associated with functions exclusive to the phylum Platyhelminthes. Further studies are necessary to determine the possible specialized functions of these proteins in tapeworm or flatworm biology.

In this set of 34 strobilation-related proteins, only 8 had orthologs found in non-Platyhelminth lophotrochozoans. The other 26 proteins were conserved only among platyhelminths (with 17 of them being conserved

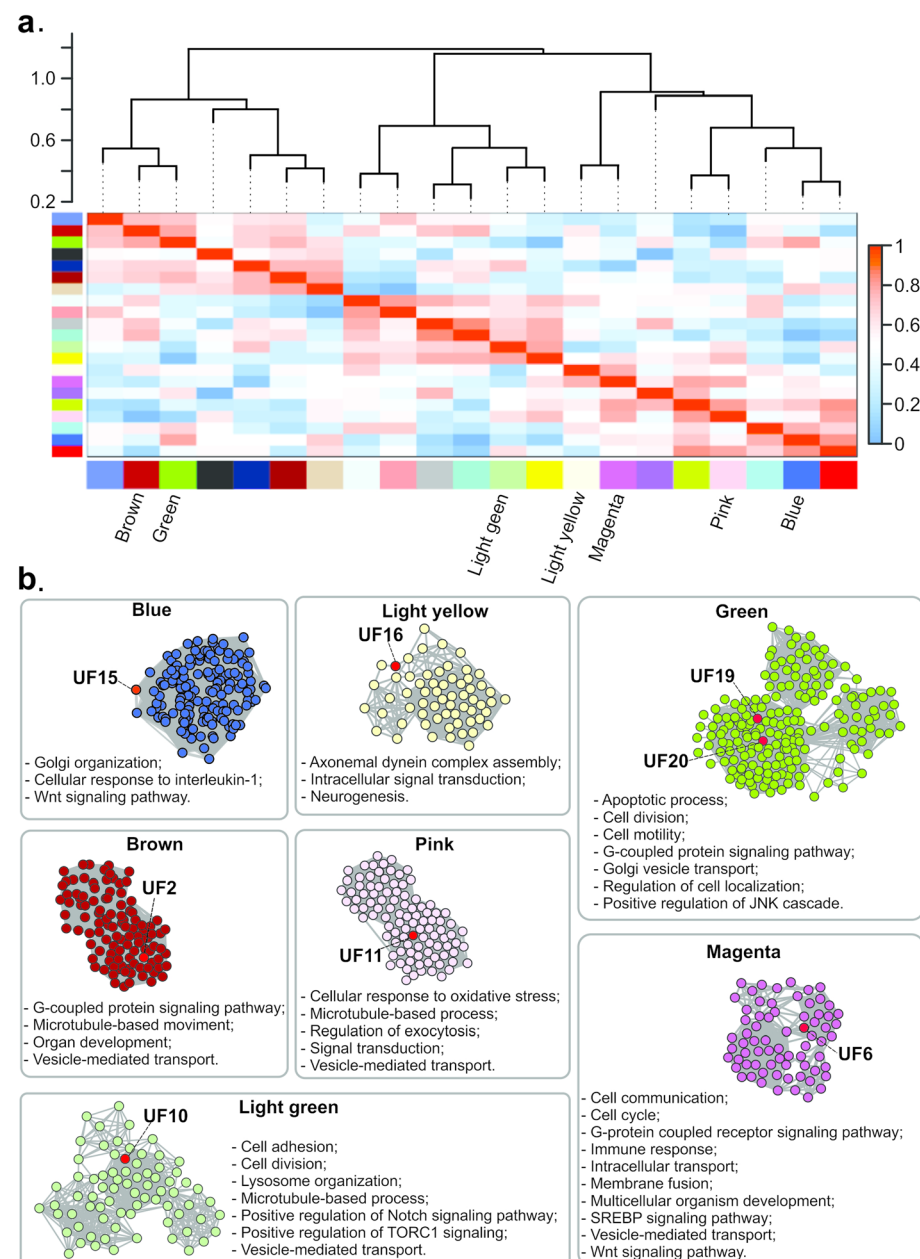


Fig. 5 Analysis of gene co-expression networks and functional predictions for strobilation-related proteins of unknown function (UF). **(a)** Module relationships are represented by the dendrogram and the module Eigengene values of all module comparisons, as represented in the heatmap. Each identified module is represented by a different color and the 7 modules containing hub UF proteins are color-named. **(b)** Each box shows the results of the selected module of the corresponding color. UF proteins are named and highlighted in red in the module PPI networks. Functions predicted for each module are listed

only among cestodes). This suggests that any ancestral lophotrochozoan segmentation mechanism [3] may have changed or gained complexity with the addition of gene/proteins during platyhelminth or cestode evolution. The phylogenetic analyses performed for these 34 strobilation-related proteins showed that their evolutionary history agrees with the currently accepted monophyletic origin of tapeworms [26].

It was interesting to evaluate the synonymous versus non-synonymous substitution rates regarding the set of strobilation-related proteins, as low variability is assumed for developmental genes due to the strong functional constraints they are submitted to [27]. According to the positive selection analyses, the assessed sequences did not show statistically significant high ω values, indicating that they are probably under functional

constraints. This is consistent with what is expected for genes involved in development and other vital processes [28, 29] (supplementary Table S7).

We also investigated whether any of the strobilation-related proteins were under positive selection, considering that at least some of them could be potential targets for the development of novel drugs against flatworm parasites. A stronger positive selection may determine amino acid variations in ortholog proteins, even among closely related species. Therefore, this type of selection would be undesirable in proteins that are potential drug targets [29]. Variations in orthologs of related pathogenic species (for example, among tapeworm or fluke species) could indicate that some of these species would be responsive to the drug, whereas others would be less, or even not at all, responsive [30]. Among the analyzed proteins, there was only one site under positive selection in one protein (UF16). Therefore, almost all the proteins analyzed would be interesting potential targets for broad spectrum drugs in cestodiasis.

As most of these strobilation-related proteins had no functional annotation (22 UF proteins), we performed a systems biology analysis to identify functional modules with the aim of providing additional evidence of their involvement in developmental processes. For cestodes, an important limitation for this type of approach is the scarcity of adequate RNA-seq data, considering the need for large numbers of replicates with low variation among them. Fortunately, RNA-seq data available for the *E. multilocularis* pre-adult (protoscolex) stage matched all technical requirements related to the replicate number and data quality. This allowed us to allocate eight of the UF proteins, which are so far not characterized, as central nodes (hubs) from seven functional network modules. These seven modules were associated with biological functions such as cell signaling, apoptosis, cell adhesion, and transcriptional regulation. Unfortunately, functional assignments were not possible for the remaining 14 UF proteins with the available transcriptomic data. A possible explanation for this could be the absence, or low expression, of these strobilation-related genes/proteins in bona fide protoscoleces, a non-strobilated stage.

Domain analyses of UF proteins allowed the identification of the UF 3 protein as a putative G protein-coupled receptor and the identification of putative transmembrane regions for eight UF proteins, suggesting that these proteins may have strobilation-related functions on the cell surface. Interestingly, transmembrane domains were found in UF 6 (related to the G-protein coupled receptor, SREBP and Wnt signaling pathways), UF 15 (related to the Wnt signaling pathway), UF 19 and UF 20 (related to the G-protein coupled signaling pathway). Additionally, co-expression and PPI analyses

allowed the association of several UF proteins with important cell signaling pathways, namely Wnt (UF 6 and UF 15), G-protein coupled receptor signaling (UF 2, UF 6, UF 19, and UF 20), Notch (UF 10), SREBP (UF 6), and TORC1 (UF 10). These data allow us to infer that these UF proteins play strobilation-related functions in cell-cell interactions mediated by one of these signaling pathways. The involvement of selected UF proteins with strobilation is suggested based on evidence from a more recent proteomic survey carried out by our group with *M. corti* (Camargo de Lima, J., Floriani, M.A., Debarba, J.A., Monteiro, K.M., Moura, H., Barr, J.R., Zaha, A., Ferreira, H.B., personal communication). This study showed that UF 16 is among the proteins that are newly synthesized within 24 h of strobilation induction.

Among the strobilation-related proteins with functional annotation, Groucho, Mark2, and TCF/LCF are components of the Wnt signaling pathway. As discussed above, two UF proteins, UF 6 and UF 15, were also assigned to the same PPI network that includes this pathway. The Wnt pathway is well conserved among metazoans [31] and has already been associated with several different developmental events in diverse organisms. Among flatworms, Wnt signaling was initially involved in planarian anterior-posterior axis (head/tail) specification during regeneration [32]. Moreover, in *E. multilocularis*, Wnt signaling inhibition has been related to protoscolex generation and specification of the primary (antero-posterior) body axis during larval metamorphosis [5, 33]. Our data now provide evidence that this pathway is also required for cestode strobilation.

Evidence for the association of the TGF- β /BMP signaling pathway with strobilation arose from the identification of two of its components, BMP2 and SMAD4, among the selected set of strobilation-related proteins. In metazoans, TGF- β /BMP signaling, including the BMP protein signal and the Smad family of transcription factors, regulates a wide variety of cellular processes, such as proliferation, differentiation, adhesion, migration, and apoptosis [34] and developmental events, such as body axis formation and regeneration [35]. Moreover, in *E. granulosus*, Smad4 transcription factor is expressed in the metacestode (cystic larval stage) and in protoscoleces in a tissue-specific manner, with the highest transcript levels being found in activated (strobilation-induced) protoscoleces [36]. Taken together, all this evidence corroborates the contribution of the TGF- β /BMP signaling pathway in cestode strobilation.

The G-protein coupled signaling pathway also seems to be related to strobilation, based on the initial selection of the NPR1 receptor. Moreover, the UF 3 protein also exhibited the classical domains found in receptors of this pathway. In line with this, the G-protein coupled receptor signaling pathway has been shown to be involved in

invertebrate developmental processes [37], including movement, development, reproduction, and plasticity of the whole worm and neuronal development in *E. granulosus* [38, 39]. It is also notable that serotoninergic G-protein coupled receptors have great high potential as drug targets for antiparasitic intervention [39]. However, in *E. granulosus* and other cestodes, many proteins of the G-protein coupled pathway remain unknown because of the considerable sequence divergence among the invertebrate orthologs [38]. Interestingly, based on the transcript co-expression and PPI analyses, we were able to relate UF 2, UF 6, UF 19, and UF 20 proteins to this pathway. Also, according to our differential expression analyses, NPR1, UF 2, UF 6, and UF19 are upregulated in the larval stage. In contrast, UF 3 and UF 20 are up-regulated in the adult stage, suggesting the involvement of the G-protein coupled pathway in different processes related to these developmental stages of cestodes.

Finally, transcript co-expression and systems biology analyses associated UF 2, UF 6, UF10, UF 11, UF 15, UF 19, and UF 20 proteins with vesicle-mediated, or Golgi vesicle, transport. In addition, the UF 15 protein seems to be part of the Golgi organization and has already been identified in a proteomic survey of *E. granulosus* extracellular vesicles (da Silva, E.D., Battistella, M.E., dos Santos, G.B., Monteiro, K.M., Cancela, M., Ferreira, H.B., Zaha, A., personal communication). Additionally, the selected GAK protein is involved in clathrin-dependent trafficking from the trans Golgi network [40]. Vesicle transport has been related to cell signaling during development, as it would facilitate the long-distance trafficking of signaling molecules [41]. Overall, these results suggest that vesicle transport may also be important in signaling pathways involved in cestode strobilation.

Since the vital importance of developmental processes for parasite biology and reproduction, the identified proteins can be considered as targets for the development of novel therapeutic strategies in cestodiasis control. For instance, proteins such as enolase, histone deacetylases, pyruvate kinase, and serotoninergic G-protein coupled receptors have been proposed as targets for cestodiasis therapeutic interventions [9, 38, 42, 43]. Here, we have provided details of at least 12 developmental proteins with the potential to be targets for drug repositioning and the design of novel anthelmintic drugs. For instance, Mark2 and MAGI2 already have orthologs with available structural data that could be used for structural modeling, binding site prediction, and drug-protein molecular docking studies [44]. Likewise, the strobilation-related proteins identified as being cestode-exclusive could also constitute an interesting set of proteins for functional studies and for design-specific therapeutic approaches to cestodiases. Moreover, all proteins identified here as being related to strobilation have

the potential to be molecular markers of cestode development, provided they are further characterized regarding their spatial and temporal expression patterns in a suitable model system, such as *M. corti* [45].

Conclusion

In summary, we performed comprehensive evolutionary and functional analyses using platyhelminth genomic and transcriptomic data to determine the relationships between segmented and non-segmented species. Such analyses allowed the successful identification of a set of 34 evolutionary conserved cestode proteins, with known (12 proteins) or unknown (22 proteins) function, as possible components of developmental pathways required for strobilation. Several of these proteins could be functionally assigned to cell signaling pathways like Wnt, TGF- β /BMP, and G-protein coupled receptor pathways, linking them to strobilation. Moreover, most of the strobilation-related UF proteins were exclusive of platyhelminths or cestodes, and they may act in specialized segmentation mechanisms that evolved and operate in these organisms. It was also found that virtually none of the 34 strobilation-related genes are under positive selection. These results provide further information on the molecular mechanisms and evolution of the cestode strobilation process. Our data also highlighted several proteins of interest for future functional studies as potential developmental markers and/or targets for the development of novel antihelminthic drugs.

Methods

Orthogroup identification

Genome data used for the identification of orthologous genes were obtained from the following public databases: National Center for Biotechnology Information (<http://www.ncbi.nlm.nih.gov/>), Sanger Institute (<http://www.sanger.ac.uk/>), SchistoDB (<http://schistodb.net/schisto/>), WormBase (<http://www.wormbase.org/#012-34-5>), and WormBase ParaSite (<https://parasite.wormbase.org/species.html>). The species used in this study were the tape-worms *E. granulosus*, *E. multilocularis*, *H. microstoma*, *M. corti*, and *T. solium*; the flukes *C. sinensis*, *S. haematobium*, *S. japonicum*, *S. mansoni*, and *O. viverrini*; the nematodes *C. elegans*, *G. pallida*, *H. contortus*, *O. volvulus*, *S. ratti*, and *T. muris*; the annelid *H. robusta*; and the mollusk *L. gigantea*. Database accession numbers and references of the respective genome sequences are available in the supplementary Table S16. The OrthoMCL algorithm v2.0.8 [46] was used with default parameters to identify groups of orthologs and paralogs, hereinafter called orthogroups, among the whole deduced proteomes of all 18 organisms listed above.

Phylogenomic analysis

A Python (<https://www.python.org/>) script was developed to select, from the OrthoMCL output (section above), all orthogroups with at least a representative sequence for each of the 18 assessed organisms (supplementary data 1). If any given organism was found to have paralogous sequences, only the longest sequence was used for further analysis, keeping only one orthologous sequence for any given protein for each of the 18 organisms. The resulting multi-FASTA ortholog files for each protein sequence were used as the input for multiple alignments, performed using the CLUSTAL Omega algorithm [47] with default parameters. Subsequently, the SCaFos software [48] was used to concatenate the aligned files of amino acid sequences. The selection of supermatrix best-fit model of protein evolution was performed using ProtTest 3 [49]. The MrBayes v3.2.2 software [50] was used to construct the phylogenomic tree, with two runs, four chains in parallel, 25,000,000 generations, sampling every 100 generations, with a burn-in of 25%, and a stopval of 0.01 for the control of topological convergence.

Identification of proteins associated with strobilated species or life-cycle stages

The orthogroups that had orthologous proteins in all five of the assessed cestode (strobilated) species, but lacked orthologs in at least one of the assessed trematode (non-strobilated) species, were selected using the Python script shown in supplementary data 2. Next, the resulting set of orthogroups associated with strobilated species were categorized and functionally enriched based on the BLAST sequence homologies and gene ontology (GO) annotations using the Blast2GO software [51]. The orthogroups were separated into two subsets: one with proteins of known functions and one with proteins of unknown functions (UF). Among the proteins in the known functions subset, we selected only the development-associated orthogroups.

Published transcriptomic data for *E. multilocularis*, *H. microstoma* [12], and *M. corti* [15] were used to identify proteins from selected orthogroups that had genes with different expressions between larval (pre-strobilated) and adult (strobilated) stages. Only bona fide larvae and adult worms were compared, as at present there is no RNA-Seq data available for specimens undergoing strobilation. To avoid differentially expressed genes that were not related to strobilation, those orthologs with differential expression between larval and adult stages of the flukes *S. haematobium* [20] and *S. mansoni* [21] were excluded from further analyses.

Considering the hypothesis that the segmentation mechanism underlying strobilation came from an ancestral lophotrochozoan mechanism [4], whether the

selected strobilation-related proteins have orthologs in other species of the Lophotrocozoa superphylum was investigated. To achieve this, the proteins identified as being differentially expressed in the cestode larval and adult stages were used as query sequences in searches for additional orthologous sequences in other lophotrochozoan species. Searches were performed in the non-redundant database of NCBI-Genbank (<https://www.ncbi.nlm.nih.gov/refseq/>) using the blastp suite (<https://blast.ncbi.nlm.nih.gov/Blast.cgi?PAGE=Proteins>) and in the UniProtKB database (<http://www.uniprot.org/>) using the HMMER phmmer tool (<https://www.ebi.ac.uk/Tools/hmmer/search/phmmer>). Only orthologous sequences with identities and coverages greater than 30 and 70%, respectively, were selected. Functional domain annotation of orthologous proteins was performed using InterProScan 5 version 57.0 [52], and only those orthologous proteins in accordance with the functional domain profile of the orthogroup they were assigned to were used in further analyses.

Phylogenetic and positive selection analyses

Multiple coding DNA sequences (CDSs) or deduced protein sequences were aligned using the CLUSTAL Omega algorithm [47] and the PRANK program [53]. CLUSTAL alignments were performed with default parameters, guided by an external hidden Markov model (HMM). PRANK alignments were performed using two algorithm variants, one based on an amino acid model (PRANK_{AA}) and the other based on an empirical codon model (PRANK_C). Nucleotide alignments were obtained using the PAL2NAL program [54]. Low quality regions of the generated sequence alignments were individually inspected, and manually adjusted, when possible, or removed, when necessary. The final nucleotide and amino acid alignments for all orthogroups were used in the phylogenetic analyses. Selection of the best-fit models of nucleotide and amino acid evolution was performed using the MEGA X software suite [55].

Phylogenetic trees were generated for each orthogroup by distance and probabilistic methods using the MEGA X software suite. For distance methods, the Neighbor-Joining algorithm was used, with pairwise deletion of gaps applied using the p-distance and Poisson evolutionary models for the amino acid sequence evaluation and the p-distance and Jukes-Cantor models for the nucleotide sequence evaluation. For the probabilistic method, the maximum likelihood algorithm with pairwise deletion of gaps was applied. The bootstrap tests of distance and probabilistic phylogenies were performed using 2000 repetitions for all analyses. Phylogenetic trees were also generated for each orthogroup by the bayesian method using the MrBayes v3.2.2 software, with two runs, four chains in parallel, 25,000,000 generations,

sampling every 100 generations, with a burn-in of 25%, and a stopval of 0.01 for the control of topological convergence. The TreeView program [56] was used to visualize and edit the results of all generated phylogenies. The best phylogenetic tree estimated for each gene was selected based on its statistical support and on the agreement with the expected evolution for these species, as indicated by the phylogenomic tree.

Positive selection analyses were performed using the codeml program in the PAML 4 software [57]. The site-specific model analysis was implemented using the M0, M1a, M2a, M3, M7, and M8 nested models. For all models, a Bayes empirical Bayes (BEB) approach was employed to detect codons with a posterior probability of positive selection > 99% [58]. Positive selection is detected when $\omega > 1$, which means non-synonymous substitutions rates (dN) are higher than synonymous substitutions rates (dS).

Gene co-expression network analysis

Two RNA-seq datasets of the *E. multilocularis* pre-adult stage were used as inputs for the gene co-expression analyses. The first one was recovered from the ArrayExpress database (<https://www.ebi.ac.uk/arrayexpress/>), accession number E-ERAD-50, and the second one was recovered from the Gene Expression Omnibus (GEO) database (<https://www.ncbi.nlm.nih.gov/geo/>), accession number GSE59173). Low quality reads were filtered using Trimmomatic v0.36 [59] and mapped on the *E. multilocularis* reference genome version 3 (<ftp://ftp.sanger.ac.uk/pub/project/pathogens/Echinococcus/multilocularis/genome/>), using the STAR 2.5.3a software [60]. The HTSeq package Version 0.8.0 [61], with intersection-nonempty counting parameter, was used to generate the gene count estimations. Expression data were imported into the R environment and normalized by a variance-stabilizing transformation method, available in the DESeq2 v1.18.1 package [62]. Finally, batch effect correction was performed utilizing the ComBat R package [63], implemented by the SampleNetwork R function created by Oldham et al. [64].

Gene co-expression calculation data was performed using the WGCNA R package, with the biweight mid-correlation method [65]. To provide a co-expression network topology close to a scale-free network, typical of many biological networks [66], a soft thresholding measurement was performed by raising co-expression values to a β power. The β power that generated a graph with the closest free-scale topology was selected. Next, a hierarchical clustering method, followed by a dynamical branch cutting algorithm, was chosen to identify modules. On each cluster, gene expression values were summarized into module eigengenes (ME). Intramodular hub genes (named as kME) were calculated by

correlating the gene expression and the corresponding ME. Genes with kME values higher than 0.85 were considered as hub genes and were used as input to generate PPI networks via STRING (<http://string-db.org>) searches using the medium confidence interaction score (0.40) and excluding text mining source. For each module of interest, the PPI network generated by STRING was joined to the WGCNA co-expression network and only connections with a value > 0.4 were selected. The resulting co-expression and PPI networks were visualized using the Cytoscape software (v3.6.0) [67]. The sets of proteins in these networks were then used for the functional enrichment analyses using the Blast2GO software [51].

Supplementary information

Supplementary information accompanies this paper at <https://doi.org/10.1186/s12864-020-06878-3>.

Additional file 1.

Additional file 2.

Additional file 3.

Additional file 4.

Abbreviations

BEB: Bayes empirical Bayes; CDS: Coding DNA sequence; HMM: Hidden Markov model; ME: Module eigengenes; PPI: Protein-protein interaction; UF: Unknown function

Acknowledgments

The authors are thankful to Dr. Magdalena Zarowiecki and the Wellcome Trust Sanger Institute (UK) for providing the access to *M. corti* genome data. The access to high-performance computing facilities granted by the Laboratório Nacional de Computação Científica (LNCC, Brazil) is also gratefully acknowledged.

Authors' contributions

GPP, CET, HBF, KNM, AZ and ATV designed the experimental approach. GPP, CET, and RLMG performed the identification and selection of orthogroups. GPP and CET performed the positive selection, phylogenetic and phylogenomic analyses. GPP and KNM performed the gene co-expression networks analysis. GPP, CET, MC and HBF analyzed and interpreted the data. GPP, CET and HBF wrote the manuscript. KNM, AZ and MC revised the manuscript. All authors have read and approved the manuscript.

Funding

This work was supported by the Conselho Nacional de Desenvolvimento Científico e Tecnológico – CNPq (grant number 428305/2018-0) and the Coordenação de Aperfeiçoamento de Pessoal de Nível Superior – CAPES (grant number 611 23038.010043/2013-02). GPP is a recipient of a CAPES Ph.D. fellowship. The funders had no role in the design of the study, in the collection, analysis, and interpretation of data, in the decision to publish and in writing the manuscript.

Availability of data and materials

All data and materials used in this research are publicly available. Genome web links are available in Supplementary Table S16. Transcriptomic data are available from <https://www.ebi.ac.uk/arrayexpress/experiments/E-ERAD-50/> and <https://www.ncbi.nlm.nih.gov/geo/query/acc.cgi?acc=GSE59173>.

Ethics approval and consent to participate

Not applicable.

Consent for publication

Not applicable.

Competing interests

The authors declare that they have no conflicts of interests (financial/non-financial) concerning this article.

Author details

¹Laboratório de Genômica Estrutural e Funcional, Centro de Biotecnologia (CBiot), Universidade Federal do Rio Grande do Sul (UFRGS), Porto Alegre, RS, Brazil. ²Programa de Pós-Graduação em Biologia Celular e Molecular, CBIOT, UFRGS, Porto Alegre, RS, Brazil. ³Departamento de Farmacociências, Universidade Federal de Ciências Médicas de Porto Alegre, Porto Alegre, RS, Brazil. ⁴Laboratório Nacional de Computação Científica, Petrópolis, RJ, Brazil. ⁵Present address: Instituto Hermes Pardini, Vespasiano, MG, Brazil.

Received: 30 August 2019 Accepted: 2 July 2020

Published online: 16 July 2020

References

- Littlewood DTJ. The evolution of parasitism in flatworms. In: Parasitic flatworms: molecular biology, biochemistry, immunology and physiology. Wallingford: CABI; 2006. p. 1–36. <https://doi.org/10.1079/9780851990279.0001>.
- Kenny NJ, Noreña C, Damborenea C, Grande C. Probing recalcitrant problems in polyclad evolution and systematics with novel mitochondrial genome resources. *Genomics*. 2019;111:343–55. <https://doi.org/10.1016/j.ygeno.2018.02.009>.
- Lockyer AE, Olson PD, Littlewood DTJ. Utility of complete large and small subunit rRNA genes in resolving the phylogeny of the Neodermata (Platyhelminthes): implications and a review of the cercerom theory. *Biol J Linn Soc*. 2003;78:155–71. <https://doi.org/10.1046/j.1095-8312.2003.00141.x>.
- Olson PD, Timothy D, Littlewood J, Bray RA, Mariaux J. Interrelationships and evolution of the tapeworms (Platyhelminthes: Cestoda). *Mol Phylogenet Evol*. 2001;19:443–67.
- Kozluk U, Jarero F, Olson P, Brehm K. Comparative analysis of Wnt expression identifies a highly conserved developmental transition in flatworms. *BMC Biology*. 2016;14:10. <https://doi.org/10.1186/s12915-016-0233-x>.
- Cousin JP. Segmentation, metamerism and the Cambrian explosion. *Int J Dev Biol*. 2009;53:8–10.
- Kozluk U. Evolutionary developmental biology (evo-devo) of cestodes. *Exp Parasitol*. 2017;180:84–100. <https://doi.org/10.1016/j.exppara.2016.12.004>.
- Cheng Z, Liu F, Li X, Dai M, Wu J, Guo X, et al. EGF-mediated EGFR/ERK signaling pathway promotes germinative cell proliferation in *Echinococcus multilocularis* that contributes to larval growth and development. *PLoS Negl Trop Dis*. 2017;11:e0005418. <https://doi.org/10.1371/journal.pntd.0005418>.
- Vaca HR, Celentano AM, Macchiaroli N, Kamenetzky L, Camicia F, Rosenzvit MC. Histone deacetylase enzymes as potential drug targets of neglected tropical diseases caused by cestodes. *Int J Parasitol Drugs Drug Resist*. 2019; 9:120–32. <https://doi.org/10.1016/j.ijpddr.2019.02.003>.
- Hemphill A, Stadelmann B, Rufener R, Spiliotis M, Boubaker G, Müller J, et al. Treatment of echinococcosis: albendazole and mebendazole – what else? *Parasite*. 2014;21:70. <https://doi.org/10.1051/parasite/2014073>.
- Kozluk U, Brehm K. Recent advances in *Echinococcus* genomics and stem cell research. *Vet Parasitol*. 2015;213:92–102. <https://doi.org/10.1016/j.vetpar.2015.07.031>.
- Tsai IJ, Zarowiecki M, Holroyd N, Garciarrubio A, Sanchez-Flores A, Brooks KL, et al. The genomes of four tapeworm species reveal adaptations to parasitism. *Nature*. 2013;496:57–63. <https://doi.org/10.1038/nature12031>.
- Howe KL, Bolt BJ, Cain S, Chan J, Chen WJ, Davis P, et al. WormBase 2016: expanding to enable helminth genomic research. *Nucleic Acids Res*. 2016; 44:D774–80. <https://doi.org/10.1093/nar/gkv1217>.
- Basika T, Macchiaroli N, Cucher M, Espinola S, Kamenetzky L, Zaha A, et al. Identification and profiling of microRNAs in two developmental stages of the model cestode parasite *Mesocestoides corti*. *Mol Biochem Parasitol*. 2016. <https://doi.org/10.1016/j.molbiopara.2016.08.004>.
- Bizarro CV, Bengtsson MH, Ricachenevsky FK, Zaha A, Sogayar MC, Ferreira HB. Differentially expressed sequences from a cestode parasite reveals conserved developmental genes in platyhelminthes. *Mol Biochem Parasitol*. 2005;144:114–8. <https://doi.org/10.1016/j.molbiopara.2005.07.002>.
- Basika T, Paludo GP, Araujo FM, Salim AC, Pais F, Maldonado L, et al. Transcriptomic profile of two developmental stages of the cestode parasite *Mesocestoides corti*. *Mol Biochem Parasitol*. 2019;229:35–46. <https://doi.org/10.1016/j.molbiopara.2019.02.006>.
- Camargo de Lima J, Monteiro KM, Basika Cabrera TN, Paludo GP, Moura H, Barr JR, et al. Comparative proteomics of the larval and adult stages of the model cestode parasite *Mesocestoides corti*. *J Proteomics*. 2018;175:127–35. <https://doi.org/10.1016/j.jprot.2017.12.022>.
- Laschuk A, Monteiro KM, Vidal NM, Pinto PM, Duran R, Cerveñanski C, et al. Proteomic survey of the cestode *Mesocestoides corti* during the first 24 hours of strobilar development. *Parasitol Res*. 2011;108:645–56.
- Debarba JA, Monteiro KM, Moura H, Barr JR, Ferreira HB, Zaha A. Identification of newly synthesized proteins by *Echinococcus granulosus* Protoscoleces upon induction of strobilation. *PLoS Negl Trop Dis*. 2015;9; e0004085. <https://doi.org/10.1371/journal.pntd.0004085>.
- Young ND, Jex AR, Li B, Liu S, Yang L, Xiong Z, et al. Whole-genome sequence of *Schistosoma haematobium*. *Nat Genet*. 2012;44:221–5. <https://doi.org/10.1038/ng.1065>.
- Protasio AV, Tsai IJ, Babbage A, Nichol S, Hunt M, Aslett MA, et al. A systematically improved high quality genome and Transcriptome of the human blood fluke *Schistosoma mansoni*. *PLoS Negl Trop Dis*. 2012;6:e1455. <https://doi.org/10.1371/journal.pntd.0001455>.
- van Dam S, Vösa U, van der Graaf A, Franke L, de Magalhães JP. Gene co-expression analysis for functional classification and gene-disease predictions. *Brief Bioinform*. 2018;19:575–92. <https://doi.org/10.1093/bib/bbw139>.
- Manzoni C, Kia DA, Vandrovčová J, Hardy J, Wood NW, Lewis PA, et al. Genome, transcriptome and proteome: the rise of omics data and their integration in biomedical sciences. *Brief Bioinform*. 2018;19:286–302. <https://doi.org/10.1093/bib/bbw114>.
- Steinberg J, Ritchie GRS, Roumeliotis TI, Jayasuriya RL, Clark MJ, Brooks RA, et al. Integrative epigenomics, transcriptomics and proteomics of patient chondrocytes reveal genes and pathways involved in osteoarthritis. *Sci Rep*. 2017;7:8935. <https://doi.org/10.1038/s41598-017-09335-6>.
- Du Y, Clair GC, Al Alam D, Danopoulos S, Schnell D, Kitzmiller JA, et al. Integration of transcriptomic and proteomic data identifies biological functions in cell populations from human infant lung. *Am J Physiol Cell Mol Physiol*. 2019;317:L347–60. <https://doi.org/10.1152/ajplung.00475.2018>.
- International Helminth Genomes Consortium. Comparative genomics of the major parasitic worms. *Nat Genet*. 2019;51:163–74. <https://doi.org/10.1038/s41588-018-0262-1>.
- Dall’Olio G, Laayouni H, Luisi P, Sikora M, Montanucci L, Bertranpetti J. Distribution of events of positive selection and population differentiation in a metabolic pathway: the case of asparagine N-glycosylation. *BMC Evol Biol*. 2012;12:98. <https://doi.org/10.1186/1471-2148-12-98>.
- Georgi B, Voight BF, Bućan M. From mouse to human: evolutionary genomics analysis of human Orthologs of essential genes. *PLoS Genet*. 2013;9:e1003484. <https://doi.org/10.1371/journal.pgen.1003484>.
- Jordan IK, Rogozin IB, Wolf YI, Koonin EV. Essential genes are more evolutionarily conserved than are nonessential genes in bacteria. *Genome Res*. 2002;12:962–8. <https://doi.org/10.1101/gr.87702>.
- Vamathevan JJ, Hasan S, Emes RD, Amrine-Madsen H, Rajagopalan D, Topp SD, et al. The role of positive selection in determining the molecular cause of species differences in disease. *BMC Evol Biol*. 2008;8:273. <https://doi.org/10.1186/1471-2148-8-273>.
- Croce JC, McClay DR. Evolution of the Wnt pathways. *Methods Mol Biol*. 2008;469:3–18. https://doi.org/10.1007/978-1-60327-469-2_1.
- Lin AYT, Pearson BJ. Planarian yorkie/YAP functions to integrate adult stem cell proliferation, organ homeostasis and maintenance of axial patterning. *Development*. 2014;141:1197–208. <https://doi.org/10.1242/dev.101915>.
- Montagne J, Preza M, Castillo E, Brehm K, Kozluk U. Divergent Axin and GSK-3 paralogs in the beta-catenin destruction complexes of tapeworms. *Dev Genes Evol*. 2019;229:89–102. <https://doi.org/10.1007/s00427-019-00632-w>.
- Zavala-Góngora R, Kroner A, Bernthalier P, Knaus P, Brehm K. A member of the transforming growth factor-beta receptor family from *Echinococcus multilocularis* is activated by human bone morphogenetic protein 2. *Mol Biochem Parasitol*. 2006;146:265–71. <https://doi.org/10.1016/j.molbiopara.2005.12.011>.
- Epping K, Brehm K. *Echinococcus multilocularis*: molecular characterization of EmSmadE, a novel BR-Smad involved in TGF-β and BMP signaling. *Exp Parasitol*. 2011;129:85–94. <https://doi.org/10.1016/j.exppara.2011.07.013>.
- Zhang C, Wang L, Wang H, Pu H, Yang L, Li J, et al. Identification and characterization of functional Smad8 and Smad4 homologues from *Echinococcus granulosus*. *Parasitol Res*. 2014;113:3745–57. <https://doi.org/10.1007/s00436-014-4040-4>.

37. Meeusen T, Mertens I, De Loof A, Schoofs L. G protein-coupled receptors in invertebrates: a state of the art. *Int Rev Cytol.* 2003;230:189–261. <http://www.ncbi.nlm.nih.gov/pubmed/14692683>.
38. Camicia F, Herz M, Prada LC, Kamenetzky L, Simonetta SH, Cucher MA, et al. The nervous and prenervous roles of serotonin in *Echinococcus* spp. *Int J Parasitol.* 2013;43:647–59. <https://doi.org/10.1016/j.ijpara.2013.03.006>.
39. Camicia F, Celentano AM, Johns ME, Chan JD, Maldonado L, Vaca H, et al. Unique pharmacological properties of serotonergic G-protein coupled receptors from cestodes. *PLoS Negl Trop Dis.* 2018;12:e0006267. <https://doi.org/10.1371/journal.pntd.0006267>.
40. Zhang CX, Engqvist-Goldstein AEY, Carreno S, Owen DJ, Smythe E, Drubin DG. Multiple roles for cyclin G-associated kinase in clathrin-mediated sorting events. *Traffic.* 2005;6:1103–13. <https://doi.org/10.1111/j.1600-0854.2005.00346.x>.
41. Gradilla A-C, Simon E, Aguilar G, Guerrero I. From intra- to extracellular vesicles: extracellular vesicles in developmental signalling. *Essays Biochem.* 2018;62:215–23. <https://doi.org/10.1042/EBC20180001>.
42. Coghlan A, Tyagi R, Cotton JA, Holroyd N, Rosa BA, Tsai IJ, et al. Comparative genomics of the major parasitic worms. *Nat Genet.* 2019;51:163–74.
43. Sulima A, Savijoki K, Bier J, Näreaho A, Salamatian R, Conn DB, et al. Comparative proteomic analysis of *Hymenolepis diminuta* cysticercoid and adult stages. *Front Microbiol.* 2017;8:2672. <https://doi.org/10.3389/fmicb.2017.02672>.
44. Govindaraj RG, Naderi M, Singha M, Lemoine J, Brylinski M. Large-scale computational drug repositioning to find treatments for rare diseases. *NPJ Syst Biol Appl.* 2018;4:13. <https://doi.org/10.1038/s41540-018-0050-7>.
45. Costa CB, Monteiro KM, Teichmann A, da Silva ED, Lorenzatto KR, Cancela M, et al. Expression of the histone chaperone SET/TAF-I β during the stroblation process of *Mesocestoides corti* (Platyhelminthes, Cestoda). *Parasitology.* 2015;142:1171–82. <https://doi.org/10.1017/S003118201500030X>.
46. Li L, Stoeckert CJ, Roos DS. OrthoMCL: identification of ortholog groups for eukaryotic genomes. *Genome Res.* 2003;13:2178–89. <https://doi.org/10.1101/gr.122450>.
47. Sievers F, Higgins DG. Clustal omega, accurate alignment of very large numbers of sequences. *Methods Mol Biol.* 2014;1079:105–16. https://doi.org/10.1007/978-1-62703-646-7_6.
48. Roura B, Rodriguez-Ezpeleta N, Philippe H. SCaFoS: a tool for Selection, Concatenation and Fusion of Sequences for phylogenomics. *BMC Evol Biol.* 2007;7 Suppl 1:S2. <https://doi.org/10.1186/1471-2148-7-S1-S2>.
49. Darriba D, Taboada GL, Doallo R, Posada D. ProtTest 3: fast selection of best-fit models of protein evolution. *Bioinformatics.* 2011;27:1164–5. <https://doi.org/10.1093/bioinformatics/btr088>.
50. Ronquist F, Teslenko M, van der Mark P, Ayres DL, Darling A, Höhna S, et al. MrBayes 3.2: efficient Bayesian phylogenetic inference and model choice across a large model space. *Syst Biol.* 2012;61:539–42. <https://doi.org/10.1093/sysbio/sys029>.
51. Conesa A, Götz S. Blast2GO: a comprehensive suite for functional analysis in plant genomics. *Int J Plant Genomics.* 2008;2008:619832. <https://doi.org/10.1155/2008/619832>.
52. Jones P, Binns D, Chang H-Y, Fraser M, Li W, McAnulla C, et al. InterProScan 5: genome-scale protein function classification. *Bioinformatics.* 2014;30:1236–40. <https://doi.org/10.1093/bioinformatics/btu031>.
53. Löytynoja A, Goldman N. webPRANK: a phylogeny-aware multiple sequence aligner with interactive alignment browser. *BMC Bioinformatics.* 2010;11:-579. <https://doi.org/10.1186/1471-2105-11-579>.
54. Suyama M, Torrents D, Bork P. PAL2NAL: robust conversion of protein sequence alignments into the corresponding codon alignments. *Nucleic Acids Res.* 2006;34 Web Server:W609–12. <https://doi.org/10.1093/nar/gkl315>.
55. Kumar S, Stecher G, Li M, Knyaz C, Tamura K. MEGA X: Molecular evolutionary genetics analysis across computing platforms. *Mol Biol Evol.* 2018;35:1547–9. <https://doi.org/10.1093/molbev/msy096>.
56. Page RDM. Visualizing phylogenetic trees using TreeView. In: current protocols in bioinformatics. Hoboken: John Wiley & Sons, Inc.; 2002. <https://doi.org/10.1002/0471250953.bi0602s01>.
57. Yang Z. PAML 4: phylogenetic analysis by maximum likelihood. *Mol Biol Evol.* 2007;24:1586–91. <https://doi.org/10.1093/molbev/msm088>.
58. Murrell B, Wertheim JO, Moola S, Weighill T, Scheffler K, Kosakovsky Pond SL. Detecting individual sites subject to episodic diversifying selection. *PLoS Genet.* 2012;8:e1002764. <https://doi.org/10.1371/journal.pgen.1002764>.
59. Bolger AM, Lohse M, Usadel B. Trimmomatic: a flexible trimmer for Illumina sequence data. *Bioinformatics.* 2014;30:2114–20. <https://doi.org/10.1093/bioinformatics/btu170>.
60. Dobin A, Davis CA, Schlesinger F, Drenkow J, Zaleski C, Jha S, et al. STAR: ultrafast universal RNA-seq aligner. *Bioinformatics.* 2013;29:15–21. <https://doi.org/10.1093/bioinformatics/bts635>.
61. Anders S, Pyl PT, Huber W. HTSeq—a Python framework to work with high-throughput sequencing data. *Bioinformatics.* 2015;31:166–9. <https://doi.org/10.1093/bioinformatics/btu638>.
62. Love MI, Huber W, Anders S. Moderated estimation of fold change and dispersion for RNA-seq data with DESeq2. *Genome Biol.* 2014;15:550. <https://doi.org/10.1186/s13059-014-0550-8>.
63. Johnson WE, Li C, Rabinovic A. Adjusting batch effects in microarray expression data using empirical Bayes methods. *Biostatistics.* 2007;8:118–27. <https://doi.org/10.1093/biostatistics/kxj037>.
64. Oldham MC, Langfelder P, Horvath S. Network methods for describing sample relationships in genomic datasets: application to Huntington's disease. *BMC Syst Biol.* 2012;6:63. <https://doi.org/10.1186/1752-0509-6-63>.
65. Song L, Langfelder P, Horvath S. Comparison of co-expression measures: mutual information, correlation, and model based indices. *BMC Bioinformatics.* 2012;13:328. <https://doi.org/10.1186/1471-2105-13-328>.
66. Barabási A-L, Oltvai ZN. Network biology: understanding the cell's functional organization. *Nat Rev Genet.* 2004;5:101–13. <https://doi.org/10.1038/nrg1272>.
67. Demchak B, Hull T, Reich M, Liefeld T, Smoot M, Ideker T, et al. Cytoscape: the network visualization tool for GenomeSpace workflows. *F1000Res.* 2014;3:151. <https://doi.org/10.12688/f1000research.4492.2>.

Publisher's Note

Springer Nature remains neutral with regard to jurisdictional claims in published maps and institutional affiliations.

Ready to submit your research? Choose BMC and benefit from:

- fast, convenient online submission
- thorough peer review by experienced researchers in your field
- rapid publication on acceptance
- support for research data, including large and complex data types
- gold Open Access which fosters wider collaboration and increased citations
- maximum visibility for your research: over 100M website views per year

At BMC, research is always in progress.

Learn more biomedcentral.com/submissions

